

(Z pracowni Zakładu i ogrodu Farmakognostycznego Uniw. Warszawskiego).

### Naparstnica (*Digitalis*),

studjum porównawcze pod względem anatomicznym i chemicznym.

Etude anatomique et chimique sur la Digitale.

Magister *Stanisław Biernacki*.

Część W starożytności naparstnica tak mało była znana, że historyczna. nawet, jak wspomina Leonard Fuchs<sup>1)</sup>, nie było dlań ani greckiej, ani łacińskiej nazwy. Początków stosowania jej w leczeniu szukać należy raczej na północy, aniżeli na południu Europy. W każdym razie, wątpliwem jest twierdzenie Fraas'a i Sibthorp'a<sup>2)</sup>, ażeby wspomniana przez Dioskorydesa pod nazwą „ἐλλέβορος λευκος“, jako środek wymiotny, roślina była *digitalis ferruginea*. Roślina, pod tą nazwą zamieszczona w Kodeksie Konstantynopolitańskim, zdaje się być nie naparstnicą, lecz *veratrum album* (ciemierzycą białą). Również i „ἐφήμερον“ Dioskorydesa nie jest, jak to przypuszczał Fabricius Calumna, naparstnicą. Caesalpin<sup>3)</sup> wskazuje na naparstnicę żółtą, jako na roślinę, rosnącą w dołach i stojących wodach. Matthiolus uważa ją za arnikę (kupalnik)<sup>4)</sup>, a korzeń jej poleca, jako antydotum w wypadkach pokąsania przez psa wściekłego, a także dla leczenia chorób żołądka i dysenterji; całego zaś ziała używano przy zatrzymaniu miesiączki.

Za naparstnicę żółtą uważano również, posiadającą piękne kwiaty i wspomnianą przez Pliniusza, roślinę *Calathiana*. Z powyższego wynika, że żaden z gatunków naparstnicy nie był opisany w starożytności ani przez greckich ani przez łacińskich autorów.

Z anglosaską nazwą naparstnicy (*Fox-glove* — lisia rękawiczka), według Pereiry<sup>5)</sup> spotykamy się w XI wieku w manuskrypcie, prawdopodobnie z 1066 roku.

<sup>1)</sup> De Hist. Stirpium. Basil. 1542, 892.

<sup>2)</sup> Sibthorp. Historische Studien I. 1889 str. 97.

<sup>3)</sup> Strumpf. Systematisches Man. d. Arzneimittellehre T II. 1855 str. 447.

<sup>4)</sup> Wiemy jednak, że tak naparstnica żółta, jak i kupalnik nie rosną w stojących wodach.

<sup>5)</sup> Elements of Mat. med. II. Part I. 1855 str. 525.

Jak to widać z przepisu, umieszczonego w lekospisie z XIII wieku „The physycian of Myddfay“<sup>1)</sup>, roślinę tę często stosowano, jako lek zewnętrzny. Leonard Fuchs nadał jej nazwę *Campanula silvestris seu digitalis purpurea* (od *digitus* palec, *digitale* — naparstek<sup>2)</sup>). Przetłumaczywszy nazwę ludową na łacinę, autor ten nazywa ją naparstnicą purpurową, lecz opisuje ją, jako żółtą. Cloetta zapewnia, że naparstnicy użyto w lecznictwie w roku 1542 pierwszy raz w Niemczech. W księdze ziół Hieronima Bocka (Tragusa)<sup>3)</sup> znajduje się nieudolna podobizna dzwonka leśnego, *Nola silvestris* z dopiskiem: „inni autorowie roślinę tę nazywają „*Digitalis*“. Caspar Banchin<sup>4)</sup> nazywa ją *digitalis purpurea folio aspero*. W roku 1650 znajduje się już *digitalis purpurea* w lekospisie londyńskim, a w 1732 r. zawiera ją również farmakopea paryska; w farmakopei wirtemburskiej umieszczono ją w r. 1771 z dopisem: „*Raro quidem in officinis reperitur, commendatur vero a Parkinsonio*“, co oznacza, że Parkinson poleca ją w „*Theatrum botanicum*“; wreszcie w 1783 r. opisano *Digitalis* w farmakopei edynburskiej. W 1770 r. moczące działanie naparstnicy stwierdził C. Darwin (syn Erazma Darwina), lecz dopiero w 1775 r. Wiliam Withering<sup>5)</sup>, lekarz i botanik w Birminghamie znalazł w Shopshire w starych rodzinnych receptach jakiejś staruszki wzmiankę o naparstnicy, stosowanej przy leczeniu puchliny wodnej. Zainteresowany tem zaczął badać własności naparstnicy i wprowadził ją do lecznictwa, zalecając zbierać liście z rośliny dwuletniej w czasie kwitnienia, a po staranym zasuszeniu używać do wewnątrz w postaci proszku i naparu. W receptce tej obok naparstnicy wymieniono 20 innych roślin, z których po 10-letnim badaniu za jedynie działającą uznano tylko naparstnicę. Od chwili odnalezienia recepty upłynęło przeszło sto lat, a środek ten nie przestawał budzić żywego zainteresowania u teoretyków i praktyków.

Z powodu ujemnego ubocznego działania, starano się zastąpić naparstnicę innemi, podobnie działającemi, a stosowanemi przez lud, roślinami. Żadna jednak z nich nie zdołała usunąć naparstnicy z jej naczelnego stanowiska.

<sup>1)</sup> Flückiger i Hanbury. *Pharmakognosia* 1879 str. 761.

<sup>2)</sup> Lehrb. d. *Arzneimittellehre und Arzneiverordnungslehre* 1889 r.

<sup>3)</sup> *De Stirpium nomenclaturis* 1552 r.

<sup>4)</sup> R. Kobert. *Historische Studien* I. 1889 str. 97.

<sup>5)</sup> W. Withering. *An account of the Foxglove* 1785.



Przed kilku laty na zjeździe kantonalnym lekarzy w Zurychu, znany klinicysta H. Eichhorst w referacie o nowoczesnych środkach sercowych, wygłosił zdanie, że mimo wzbogacenia się w ostatnich czasach wieloma środkami sercowymi, zawsze jednak w momentach upadku czynności serca na pierwszym miejscu postawić należy naparstnicę. O. Schmiedeberg<sup>1)</sup> zdanie to w zupełności podziela. W stosunkowo krótkim czasie literatura o naparstnicy i o jej środkach zastępczych wzrosła do olbrzymich rozmiarów, a doświadczenia na zwierzętach z wieloma trującymi roślinami Afryki i krajów zwrotnikowych, zwłaszcza w pracach Jamesa Little'sa<sup>2)</sup> przekonały, że jedynie strofantus jest w możności do pewnego stopnia zastąpić naparstnicę.

Systematyka *Scrophulariaceae rhinanthoideae, trędownikowate, szereg rodzaju. Digitalis — na- lążeńnikowe. Digitaleae, Naparstnicowe.*  
parstnica. Według A. Englera i K. Prantl'a<sup>3)</sup> następujące cechy charakteryzują rodzaj *digitalis*:

*Digitalis* Linn. Kielich pięciodzielny, korona dwuwargowa z bruchowatym występem; wargą górną krótką, równą lub dwupłatkową, dolną zaś często posiada powiększone środkowe płatki; cztery dwusilne, przeważnie w rurce korony ukryte pręciki rozdzielają się na dwie pary; pylniki schodzą się na wierzchołku; znamię krótkie dwudzielne; owocem torebka pękająca wzdłuż szwów; nasiona liczne.

Rośliny przeważnie zielne, rzadziej krzewy lub podkrzewy z pojedynczą lub rozgałęzioną w dolnej części łodygą o kwiatach przeważnie dużych, żółtych lub czerwonych, zebranych w szczytowe jednostronne grona,—obejmują one około 22 gatunków i 2 mieszańce.

*Sectio I. Eudigitalis Wettst.* Górna wargą korony kwiatowej wyraźnie krótsza od wargi dolnej. Rośnie w wschodniej Azji, środkowej i południowej Europie; znamy około 20 gatunków, a mianowicie:

A. W postaci krzewów: *Digitalis laciniata* Lindl. i *Digitalis obscura* L. z kwiatami złocisto-brunatnymi; rosną na półwyspie Pirenejskim.

<sup>1)</sup> Schmiedeberg. Untersuchungen über die pharmakolog. wirksamen Bestandtheile Dig. pur. Archiv f. exper. Pathol und Pharmakologie T 3. str. 16.

<sup>2)</sup> I. Little. Birmingham Medical. Review 1892.

<sup>3)</sup> A. Engler i K. Prantl. Natürliche Pflanzen Familien IV część 3 b str. 49.

B. Trwałe zioła.

Ba. Płatek środkowy wargi dolnej dłuższy od wydatnie brzuszkowatej rurki kwiatowej.

Bα. Wierzchołek kielicha zaokrąglony. *Digitalis ferruginea* L. rośnie w południowej Europie, rozprzestrzeniając się do Armenji.

Bβ. Wierzchołek kielicha zaostrozony. *Digitalis laevigata* W. R. z osią kwiatową nagą — w górach Grecji; *Digitalis lanata* Ehrb. również, jak i dwa następne z owłosioną osią kwiatową, rośnie w tych miejscowościach, co i *laevigata*; *Digitalis orientalis* Lam. w Małej Azji; *Digitalis Sibirica* Lindl. rośnie na Syberji.

Bb. Płatek środkowy wargi dolnej krótszy od wybitnie bruchowatej rurki.

Bba. Korona kwiatowa czerwona. *Digitalis purpurea* L. rośnie w zachodniej Europie; *Digitalis Mariana* Boiss; *Digitalis minor* L. i *Digitalis Thapsi* L. na półwyspie Bałkańskim; *Digitalis dubia* Rodr. na Balearach.

BbB. Korona kwiatowa żółta; *Digitalis ambigua* Murr. rośnie w środkowej i południowej Europie; *Digitalis ciliata* Trautv. zaś na Kaukazie.

Bc. Płatek środkowy wargi dolnej krótszy od pozbawionej brzuszka, wydłużonej rurki. *Digitalis lutea* L. rośnie we wschodniej i południowej Europie. *Digitalis purpurascens* Rth. w Europie wschodniej. *Digitalis parviflora* Jacq. w Hiszpanji. *Digitalis viridiflora* Lindl. w Macedonji i Francji.

*Sectio II Isoplexis Lindl.* Warga górna równa dolnej, lub nieco od niej większa. Znane są dwie tej rośliny odmiany: *Digitalis sceptrum* L. i *Digitalis canariensis* na wyspach Kanaryjskich, — obie krzewiaste o kwiatach złocisto-brunatnych.

Cechy anatomiczne trędownikowatych, anatomja liści naparstnicy.<sup>1)</sup> Przystępując z kolei do własnych badań anatomiczno-porównawczych, uważam za właściwe podać najogólniejsze cechy anatomiczne liści rodziny trędownikowatych (*scrophulariaceae*), do której należy rodzaj naparstnica (*Digitalis*). Liście trędownikowatych wykazują na przekroju obecność zwykłych zróżnicowanych tkanek, przyczem liście bywają albo różnostronne (*bifacialis*) lub też jednakostronne (*isolateralis*).

<sup>1)</sup> W całej pracy używam terminologii anatomicznej, przyjętej w pracowni Zakładu farmakognostycznego Uniwersytetu Warszawskiego.



Komórki skórki (epidermis) rozpatrywane z powierzchni wykazują różny kształt, ścianki ich są zazwyczaj cienkie i częstokroć faliste.

Naskórek (cuticula) cienki i często prążkowany (gestreift). Włosy (pili) o naskórku gładkim lub miejscami zgrubiałym są rozmaicie ukształtowane, częstokroć w sposób wysoce znamienny dla poszczególnych rodzajów. Włosy bywają ochronne (Deckhaare) jedno komórkowe, niekiedy o charakterze cystolitów, lub też wielokomórkowe i rozgałęzione jak np. w *Verbascum*. Prócz włosów ochronnych wiele rodzajów ma włosy gruczołowe (pili glandulosi), których główka 1—4 komórkowa jest podzielona tylko pionowymi ściankami i osadzona na dłuższej lub krótszej jednokomórkowej lub wielokomórkowej jednorzędowej podstawie. Podział główki włosa pionowo przebiegającymi ściankami jest cechą bardzo charakterystyczną dla rodziny trędownikowatych. Cecha ta daje możność odróżnienia przedstawicieli trędownikowatych od psiankowatych (solanaceae), których komórki główki dzielą się nie tylko pionowymi, lecz także i poziomymi ściankami (Solereder<sup>1</sup>). Szparki oddechowe, otoczone 3—4 komórkami przyszparkowymi, znajdują się w równej ilości na obu powierzchniach, lub też liczniej występują na powierzchni dolnej.

Szczawian wapniowy spotyka się rzadko i to w postaci kryształów pryzmatycznych lub igieł, wreszcie oktaedrów, nigdy zaś w formie piasku. Budowa wiązek sitowo naczyniowych jest stale obokległa (collateralis) oraz pozbawiona włókien tak łykowych, jak i drzewnych. Liście rodzaju *digitalis* stale należą do typu różnostronnych (bifacial); górny miękisz palisadowy, jednorzędowy rzadko dwu i więcej rzędowy, łączy się z dolnym miękiszem gąbczastym za pośrednictwem komórek łącznych.

W śródlściu całkowity brak kryształów szczawianu wapniowego — cecha wyodrębniająca naparstnicę z pośród innych trędownikowatych.

Szparki oddechowe podłużnoowalne z 3—4 komórkami przyszparkowymi, jak w całej rodzinie, liczniejsze są jednak na dolnej powierzchni.

Włosy dwojakiego rodzaju — ochronne i gruczołowe: włosy ochronne wielokomórkowe o naskórku mniej lub więcej brodawkow-

<sup>1</sup>) Solereder. Systematische Anatomie der Dicotyledonen.

wanym, włosy gruczołowe z główką dwu-cztero komórkową o pionowym znamieniem dla całej rodziny przebiegu ścianek na jedno, najwyżej dwukomórkowej podstawie: rzadko spotykamy włosy gruczołowe, z główką jednokomórkową na kilkokomórkowej podstawie.

Rozmieszcze- H. Baljet <sup>1)</sup> badał cały szereg różnych gatunków napar-  
nie ciał czyn- stnicy, w celu wykrycia rozmieszczenia ciał czynnych  
nych w li- w liściach. Badał on następujące gatunki świeżo zebranych  
ściach napar- nych lub świeżo suszonych liści naparstnic: *Dig. pur-*  
stnicy. purea, *Dig. lutea* L., *Dig. ambigua* Murr., *Dig. ferruginea*  
L., *Dig. lanata* Ehr., *Dig. orientalis* Lam., *Dig. nervosa* Stendl.  
i Hoechst, *Dig. mariana* Boiss., *Dig. parviflora* Jacq., *Dig. purpu-*  
*purascens* Roth., *Dig. viridiflora*, *Dig. nevadensis*.

Badania swoje uskutecznia Baljet w sposób następujący:

Na szkiełku przedmiotowym miesza kroplę 1% roztworu kwasu pikrynowego z kroplą 10% również wodnego roztworu ługu sodowego. W mieszaninę tę zanurza się skrawek, zawierający przynajmniej jedną warstwę komórek nieuszkodzonych i po przykryciu preparatu szkiełkiem nakrywkowym bada się go pod mikroskopem. Po upływie 1—2 minut występuje znamienne dla glikozydów sercowych pomarańczowe zabarwienie. Sądząc z zabarwienia tego, autor dochodzi do przekonania, że rozmieszczenie glikozydów okazało się identycznym dla wszystkich badanych gatunków, aczkolwiek intensywność zabarwienia była różną. Zabarwienie pomarańczowe, różne od bledo żółtego w innych komórkach, występuje przede wszystkim u liści rozwiniętych w komórkach skórki (epidermis) wraz z włosami (pili), następnie w okolicy pochwy ochronnej (endodermis), otaczającej wiązki, a niekiedy zaś i w komórkach tkanki zwarcicowej (collenchym), znajdujące się pod skórkami.

Tschirch, badając rozmieszczenie ciał czynnych w liściach naparstnicy, również dochodzi do przekonania, że siedliskiem ciał oznaczonych zbiorową nazwą digitaliny jest skórka <sup>2)</sup>. Zdanie to opiera Tschirch na powstawaniu brunatnego osadu po dodaniu jodu w jodku potasowym, a także na zasadzie zabarwienia żółtego

<sup>1)</sup> H. Baljet. Schweizerische Apotheker Zeit. 1918 № 7 i № 19.

<sup>2)</sup> Ani Baljet ani Tschirch nie podają, w jakich włosach ochronnych, czy gruczołowych, albo też w jednych i drugich występuje zabarwienie znamienne dla glikozydów.



od wodzianu sodu i wreszcie zabarwienia żółtawo zielonego od stężonego kwasu siarkowego.

Historja badań chemicznych. Z prac chemicznych o ciałach czynnych naparstnicy najdawniejszą jest praca Desthuche'a<sup>1)</sup>, de Villiers'a, Reina, Weldinga, Radiga, Le Royer'a.

Digitalina Le Royer'a została nazwaną przez Radiga pikryną, wykryta zaś przez Radiga scaptyna była brunatną lepłą masą. Produkt otrzymany zapomocą destylacji nazwał Morrin pyrodigitaliną. Kwas antyrrynusowy był jedną z pierwszych substancji otrzymanych przez Morrina<sup>2)</sup> z naparstnicy. Jest to ciało lotne, podobne do kwasu walerjanowego. H. Paschkiś otrzymał tenże kwas z *Digitalis ambigua* Murr.; Morrin wykrył w naparstnicy jeszcze inny kwas w postaci białych igieł o swoistym zapachu i odczynie kwaśnym i nazwał go digitalowym.

W przeciwieństwie do kwasu digitaloinowego Walza, Kosman<sup>3)</sup> znalazł kwas digitaleinowy w postaci zielonych gwiazdkowych kryształów o smaku gorzkim i trującym działaniu. Nativelle<sup>4)</sup> otrzymał z liści naparstnicy 3 ciała, a mianowicie: trudno rozpuszczalną w wodzie digitalinę, ciało czynne, krystaliczne; digitaleinę — rozpuszczalną w wodzie, bezpostaciowe ciało czynne i wreszcie nieczynną, prawie nierozpuszczalną w wodzie, krystaliczną digitinę. Wykrycie tych ciał wywołało sensację w świecie naukowym — i Nativelle otrzymał nagrodę.

Wcześniej jeszcze, bo w 1845 roku Homolle<sup>5)</sup> z liści naparstnicy otrzymał digitalinę, która pod nazwą digitaliny francuskiej znaną jest i obecnie. Według Homolle'a i Quevenn'a<sup>6)</sup> jest to mieszanina digitaliny i digitalozy. Prócz digitaliny znalazł nadto Homolle digitalosinę, digitalidinę i digitalid. Kosman również, jak i Homolle otrzymał digitalinę, która przez gotowanie z rozcieńczonym kwasem siarkowym ulega rozkładowi na digitaletynę i cukier.

Na digitalinę Lancelota<sup>7)</sup> i Lebourdais nie zwrócono jednak baczniejszej uwagi. Następnie pojawiły się liczne preparaty

<sup>1)</sup> Bull. Pharm I — 123.

<sup>2)</sup> Journal Pharm. 7. 299.

<sup>3)</sup> Journal. Chim. med. 22. 377. 1846.

<sup>4)</sup> N. Jahrb. f. Pharmacie XXVII. 161.

<sup>5)</sup> Journal. Pharmac. 3. 7. 57.

<sup>6)</sup> N. Repert. Pharmac. 9. 1.

<sup>7)</sup> Ann. Chim. Phys. (3). 24. 58.

Walza<sup>1)</sup>), który z liści naparstnicy czerwonej i żółtej otrzymał t. z. początkowo digitasolinę, przemianowaną następnie na digitalinę, znaną dotychczas pod nazwą niemieckiej digitaliny. Digitalina Walza również, jak i digitalina Kosmana i Homollea przez gotowanie z rozcieńczonym kwasem ulega rozkładowi na cukier i digitalinę. Drugim również przez Walz'a otrzymanym preparatem był kwas digitaloinowy i digitalarcyna oraz pachnąca substancja naparstnicy digitalosmina. Nadto Engelhardt w liściach naparstnicy znalazł zasadę płynną, zbliżoną do koniiny i nikotyny; wreszcie Marme<sup>2)</sup> wykrył inozyt, Henry zaś kwas gallusowy. Z całej tej gromady ciał, znalezionych w liściach naparstnicy dwa tylko na baczniejszą zasługiwały uwagę, a mianowicie:

1) Digitalina niemiecka (Walz'a), proszek bezpostaciowy, łatwo rozpuszczalny w wodzie i wyskoku, trudno zaś w chloroformie i eterze;

2) Digitalina francuska (Homolle'a i Nativelle'a) trudno rozpuszczalna w wodzie i wyskoku, łatwo natomiast w chloroformie. Niemiecka digitalina składa się według Schmiedeberga z digitaleiny; francuska z digitoksyny i z digitogeniny, digitalina zaś Nativella z czystej prawie digitoksyny. Z wszystkich prac nad ciałami czynnymi i obojętnymi w naparstnicy wynika, że liście tej rośliny istotnie zawierają powyższe ciała, o otrzymaniu jednak jakiegokolwiek związku w stanie czystym mowy być nie może, wszystkie bowiem dotąd znalezione substancje przedstawiają mieszaninę ciał czynnych i obojętnych, znajdujących się bądź rzeczywiście w roślinie, bądź też występujących podczas otrzymywania, jako produkty rozkładu.

Dopiero Schmiedeberg w klasycznych swych pracach nad naparstnicą poniekąd rzucił światło na panujący w tym względzie chaos. Pewnemi, farmakologicznie czynnymi ciałami różnych gatunków liści naparstnicy według Schmiedeberga i Kiliani'ego są digitonina, digitalina, digitaleina i digitoksyna.

1) Digitonina — glukozyd o charakterze saponinowym, działający hemolitycznie, podobnie do sapotoksyny mydłoki (Quillaja saponaria), znajduje się we wszystkich częściach różnych gatunków i odmian naparstnicy.

<sup>1)</sup> Walz Jahrb. 12: 83; 14: 20; 21: 29; 24 — 86.

<sup>2)</sup> Annalen 129. (1864).



Według Schmiedeberga, otrzymana z digitaliny niemieckiej digitonina jest substancją bezpostaciową, łatwo rozpuszczalną w wodzie, natomiast krystaliczna digitonina, otrzymana przez Kiliani'ego, ma być wyłącznym glikozydem nasion naparstnicy.

Krystalicznej digitoninie towarzyszą bezpostaciowe rozpuszczalne w wodzie saponiny. Zdaniem Krafta<sup>1)</sup> bezpostaciowa, rozpuszczalna w wodzie digitonina Schmiedeberga stanowi mieszaninę ( $\alpha$ ,  $\beta$ ,  $\gamma$ ) digitosaponinów, różniących się rozpuszczalnością w wodzie, wysokoju etylowym i metylowym; nie mniej i krystaliczna nierozpuszczalna digitonina, otrzymana z nasion przez Kiliani'ego, należy według Krafta do saponinów i być może jest pokrewną t. zw. gitynie.

Digitonina Cloetta<sup>2)</sup> jest to białło-żółty proszek, łatwo rozpuszczalny w wodzie i rozcieńczonym wysokoju, nierozpuszczalny natomiast w wysokoju bezwodnym, chloroformie i eterze.

Digitonina (Schmidt) tworzy bezbarwne igły, rozpuszczalne w 600 cz. zimnej i 50 cz. wrzącej wody. Roztwory te jednak są mętne, jedynie w 50% wysokoju rozpuszczają się przezroczysto. Z odczynnikiem Kellera digitonina tworzy tylko warstwę różowoczerwoną.

Digitonina jest glukozydem, nie wykazującym charakterystycznego działania na serce. Ogrzewana z wysokojuwym roztworem HCl rozkłada się na digitogienę, dekstrozę i galaktozę. Digitonina ma wywoływać galaretę w naparach naparstnicy, jakkolwiek niektórzy badacze uzależniają to zjawisko od czynności drobnoustrojów *Micrococcus gelatinogenes* Brtgn., przetwarzających cukier na substancje śluzowe. Poddana utlenianiu digitonina tworzy kwas digitogienowy, a następnie digitowy (Kiliani<sup>3)</sup>).

2) Digitalina jest glukozydem, działającym na serce i znajduje się obok digitaleiny w digitalinie handlowej. Z odczynnikiem Kellera tworzy ona pierścień ognisto-karminowo-czerwony, z warstwą dolną jasno żółtą, czasem przechodzącą w brunatną. Spotykane w handlu digitaliny są nieczyste i różnią się pod względem

<sup>1)</sup> Kraft. Schweizer. Wochenschr. 1911 — 162 — 173. 237 Archiv. der Pharmacie 1912 — 118.

<sup>2)</sup> Cloetta. Archiv. exper. Pathologie 41 (1898) 42. 45. (1901). 435. 54 (1906). 294. 59. (1908). 209.

<sup>3)</sup> Kiliani Arch. der Pharmacie 1892 — 1393 — 1894 — 1895 - 1896 — 1897 — 1899, 1914.

własności chemicznych; z nich znane są, a) digitalina Nativelle'a <sup>1)</sup> w postaci białych, delikatnych błyszczących igieł, odczynu obojętnego, w wodzie jak również w eterze i benzolu prawie nierozpuszczalna. W wysoku rozpuszcza się około 12 cz. digitaliny, w chloroformie jest łatwo rozpuszczalną; składa się ona głównie z digitoksyny; b) Digitalina Homolle'a, tworząca białe, lub żółtawo-białe łuski, odczynu obojętnego, smaku gorzkiego. Rozpuszcza się w 2000 cz. zimnej i w 100 cz. wrzącej wody, łatwo rozpuszcza się 90% wysoku i stężonym kwasie octowym, trudno jednak w eterze. Według Schmiedeberga składa się ona z digitoksyny, digitaliny (w przeważającej ilości) i digitogeniny.

Powyższe francuskie digitaliny zwilżone alkoholem i stężonym kwasem siarkowym i ogrzane do żółtawego zabarwienia, po dodaniu kropli ferr. chloratum barwią się na kolor niebieskawo-zielony.

Odczynu tego digitaliny niemieckie Schmiedeberga i Kiliani nie dają.

c) Digitalinę niemiecką otrzymujemy z nasion; tworzy ona bezpostaciowy, żółtawo-biały proszek, odczynu obojętnego, smaku gorzkiego. W zimnej i gorącej wodzie, jak również w wysoku rozpuszcza się z łatwością, natomiast bardzo nieznacznie w chloroformie i eterze. Według Kiliani'ego zawiera ona prawie połowę digitoniny, według zaś Schmiedeberga mieści w sobie i digitaleinę. Ogrzewana w HCl rozkłada się dając digitaligeninę, digitalozę i dekstrozę. Kraft znalazł w liściach do 0,01% digitaliny. Ta digitalina jest czynnym glukozydem, trudno rozpuszczalnym w wodzie i dobrze w gorącym wysoku. Glukozyd ten jest bezpostaciowym białym proszkiem i jest pokrewny digitalinie Schmiedeberga i Kiliani.

3) Digitaleiny (Kiliani) w stanie czystym nie zdołano jeszcze otrzymać.

Digitaleina właściwie jest nazwą zbiorową dla rozpuszczalnych w wodzie glukozydów naparstnicy, działających na serce; daje ona również reakcję Kellera podobną do reakcji digitaliny, o barwie nieco bledszej.

Do digitalein zaliczyć należy także gitalinę Krafta, tworzącą bezpostaciowy biały proszek odczynu obojętnego, topiący się

<sup>1)</sup> Nativelle Monit scient 1867. Jour de Pharm. 9. 1869. 225. 16 (1872) 430; 20. (1874) 81.



w t° 150—155°, rozpuszczający się w 600 cz. zimnej wody i bezwzględnie w chloroformie. Ogrzany wodny roztwór gitaliny mętnieje i wydziela kłaczkowaty osad, rozpuszczający się po ostudzeniu. Gitalinę otrzymać także można w stanie krystalicznym w postaci wodzianu (gitalinyhydrat), o ile rozpuścimy gitalinę w  $1\frac{1}{2}$  części wyskoku i po dodaniu  $\frac{3}{4}$  części wody, zamieszmamy. Otrzymane naówczas kryształki w postaci kulek i sferokryształów po wysuszeniu do stałej wagi tracą 12% wody. Gitalina przy dłuższem zetknięciu się ze wszystkimi, za wyjątkiem chloroformu i zimnej wody, rozpuszczalnikami ulega rozkładowi, wydzielając krystaliczny trudno rozpuszczalny w wodzie bezwodnik gitaliny (anhydrogitalinę): bezwodnik gitaliny zdaniem Krafta jest pokrewny digitoksynie; pod wpływem rozcieńczonych kwasów rozkłada się ona w t° zwykłej, tworząc geninę; nadto daje ona również odczyn Kellera, a mianowicie: z kwasem siarkowym i octowym nie okazuje niebieskiego zabarwienia, lecz obrączkę fioletową na miejscu zetknięcia się z kwasem. Reakcja Kilianiego daje również wynik dodatni. Kraft znalazł w liściach do 0,7% gitaliny. Focke i E. Meyer uważają gitalinę za jeden z działających składników liści naparstnicy, natomiast Kobert gitalinę zalicza do saponinów. Pokrewny gitalinie niezbadany jeszcze glukozyd diginę otrzymał Tambach <sup>1)</sup>.

Według Windaasa i Schneckenburger'a <sup>2)</sup> nasiona również, jak i liście naparstnicy zawierają glukozyd gitoninę o saponinowym charakterze; gitonina przy hydrolizie rozpada się na gitogenninę, galaktozę i pentozę.

4) Digitoksyna, glukozyd, tworzy bezbarwe igły o połysku perłowej masy, lub też blaszkowate kryształki, zupełnie nierozpuszczalne w wodzie, benzolu i siarczku węgla, trudno w eterze, z łatwością zaś w wyskoku i chloroformie, Kiliani <sup>3)</sup> otrzymał również digitoksynę i w koloidalnej modyfikacji, uważając „digalen“. Cloetty za nieczystą digitaleinę. Zdaniem Krafta t. zwane rozpuszczale bezpostaciowe digitoksyny (Kellera, Cloetty i Burmana) należy uważać za gitalinę.

Według Kilianiego digitoksyna znajduje się jedynie w liściach; Cloetta i Keller znajdują ją jednak i w nasionach. W liściach,

<sup>1)</sup> Tambach. Pharm. Centralhalle 1912. 392.

<sup>2)</sup> A. Windaus u. A. Schmiedeberg, Ber. chem. Ges. 46. 2628. (1913)

<sup>3)</sup> Kiliani Ber. chem. Ges. 49, 701 (1916) 51, 1629 (1918).

zależnie od pogody, hodowli i miejsca wzrostu, ilości jej są zmienne (0,1% — 0,6%).

Jest ona jednym z najsilniej działających składników liści i jej przypisują swoiste działanie naparstnicy na serce.

Pod wpływem wysokowego roztworu HCl digitoksyna ulega rozkładowi, tworząc digitoksygeninę i digitoksozę. Daje odczyn Kellera, za pomocą którego można ją wykryć i w naparze. Oznaczyć ilościowo digitoksynę w liściach można za pomocą metody Kellera, chociaż sam Keller zastrzega się, że oznaczenie ilości digitoksyny nie jest miarodajne, ponieważ należy brać pod uwagę i inne składniki liści.

Ilość ciał działających w liściach waha się w zależności od gleby, miejsca wzrostu, oświetlenia, czasu zbioru<sup>1)</sup> i pogody, a zwłaszcza odpowiedniego znawożenia gleby — okoliczności podnoszonej przez Straub'a i Burmana<sup>2)</sup>. Zdaniem Meyera ilość czynnych glukozydów sięga do 1%: digitoksyna 0,33%, gitalina 0,33% i digitalina 0,33%.

W latach wilgotnych ilość digitoksyny spada znacznie, jak to widać z badań Jamesa Burmana<sup>3)</sup> i<sup>4)</sup>.

Lata	Dig. purpurea średnia zawartość digitoksyny
1907 . . . . .	0,078%
1908 . . . . .	0,063%
1909 . . . . .	0,033%
1910 . . . . .	0,037%

W dwóch ostatnich latach, obfitujących w deszcze, ilość digitoksyny spadła do połowy. Ponadto według Kiliani'ego w liściach naparstnicy znajduje się krystalizujący się glukozyd digitophyllina, jeszcze trudniej rozpuszczalny, aniżeli digitoksyna.

Do wykrycia glukozydów naparstnicy posiadamy dwie próby barwne.

1) Próba Kilianiego. Odczynnik Kilianiego do tej próby otrzymuje się przez rozpuszczenie 0,05 ferr. sulfur. oxydat. w 1 g wody i następne zmieszanie tego roztworu ze 100 cz. czystego, stę-

<sup>1)</sup> Dafert Otto: Der Einfluss des Tageslichtes auf den Scholt an wirksamen Stoffen bei Digitalis. Angew. Bot. Bd 3, H. 1/2, S. 23 — 28. 1921.

<sup>2)</sup> Straub, Arch. d. Pharmacie 255 (1917) 198. 256 (1918). 196.

<sup>3)</sup> J. Burman, Schweiz. Apoth. Ztg. 36 (1914).

<sup>4)</sup> J. Burman, Bull. Soc. chim. 1910 do 1912 Schweiz. Rundschau f. Med. 1913.



zonego kwasu siarkowego. Najmniejsze ilości digitaligeniny, lub digitaliny wywołują zabarwienie złoto-żółte i rozpuszczają się w odczynniku, barwiąc go na kolor czerwono fioletowy.

2) Próba Kellera<sup>1)</sup> jest szczególnie charakterystyczną dla digitoksyny i digitoksozy. Chcąc wykonać próbę, rozpuszczamy glukozyd w lodowatym kwasie octowym, dodajemy odrobinę ferr. chlorat., a następnie odczynnik Kilianiego. Na granicy zetknięcia się płynów tworzy się ciemna warstwa, nad nią zaś niebieskie kółko, przyczem powoli cały kwas octowy barwi się na niebiesko-zielono, kwas siarkowy jednak zabarwieniu nie ulega. Lafon<sup>2)</sup> zaobserwował pierwszy to znamienne zabarwienie, jakie daje digitalina Homolle'a i Nativelle'a z mieszaniną różnych części kwasu siarkowego i alkoholu z dodatkiem małej ilości soli żelaza. Keller nie znając pracy Lafon'a w dwanaście lat później ogłosił reakcję tę, jako swoją.

Henk Baljet nazywa ją reakcją Lafon—Kellera. Baljet podaje przytem nową reakcję, wysoce znamiennej dla wszystkich glukozydów sercowych, zwłaszcza zaś dla digitoksyny. Glukozydów te dają zabarwienie różowe, dochodzące aż do pomarańczowego w zależności od ilości glukozydów, z mieszaniną dwóch następujących odczynników:

Odczynnik № 1 składa się z roztworu 1,0 kwasu pikrynowego w 100,0 — 95% wysokości i № 2 z 10% roztworu ługu sodowego w wodzie przekroplonej; przed użyciem oba te roztwory należy zmieszać w równych ilościach.

Rezultaty otrzymane przez Henka Baljet'a zebrane są w następującej tablicy:

Czas	Digitoksyna	Gitalina	Strofantyna Krystal	K-Strofantyna
5 minut	+	+	+	+
10 „	++	+	++	++
30 „	++	+	++	++

Temperatura w jakiej wykonano reakcję wynosiła 14°, odczynnika wzięto 5 cm.,<sup>3</sup> glukozydu zaś użyto 1 mg.

<sup>1)</sup> Keller Ber. pharm. Gess. 1895. 275. 1897. 125 i 470.

<sup>2)</sup> Lafon. Compt. rendu 1885 str. 1463.

## CZĘŚĆ SZCZEGÓŁOWA.

*Digitalis purpurea* L.

Geograficzne rozmieszczenie, morfologia, zbieranie, suszenie i użycie *Digitalis purpurea* L. *Digitalis purpurea* L jest rośliną zielną dwuletnią, bardzo często hodowaną w ogrodach dla pięknych kwiatów. W Polsce dziko rośnie tylko na Śląsku Górnym, a pojedyncze stanowiska mają sięgać aż w okolicę na zachód pod Krakowem (J. M. Dobrowolski <sup>1)</sup>). W dużych ilościach rośnie dziko w lasach górskich i tylko, rzadko na równinach Zachodniej Europy: w Sardynji, na Korsyce w Portugalji, Hiszpanji, Francji, Jugosławji, Węgrzech, Czechosłowacji, w zachodnich Niemczech, jak np. w Wogezach, Szwarzwaldzie, Turyngji, Harcu, nie przekracza jednak na wschód rzeki Łaby, wreszcie występuje w Anglii, Szkocji i na Zachodnim wybrzeżu Skadynawji, gdzie sięga 64° szerokości północnej. Jak podaje R. Chodał <sup>2)</sup> naparstnica purpurowa unika gleby wapiennej. Wzrost rośliny na glebie, zawierającej wapno, zmniejsza się w stosunku do ilości wapna.

James Burman <sup>3)</sup> prócz żelaza znajduje w popiele liści *dig. purpurea* także mangan (którego brak w popiele liści *dig. ambigua et lutea*). Mangan jest dla życia *Digitalis purpurea* niezbędnym, dlatego też wzrasta ona na podłożach, zawierających mangan i żelazo, jak np. w Wogezach, w górach Harcu i w Turyngji, natomiast brak jej w Szwajcarji (i przeważnie w Alpach), gdzie gleba pozbawiona jest manganu. Autor znalazł w glebie Alzacji (Barr) 0,43% manganu i 4,82% żelaza, a w popiele liści 9,02% manganu i 0,8% żelaza. Jak już wspomniano wyżej *Digitalis purpurea* jest rośliną dwuletnią. W pierwszym roku tworzy przyziemną różyczkę liści dużych, do 60 cm długich, z ogonkiem skrzydlatym. W roku drugim, niekiedy dopiero w trzecim, wyrasta łodyga do 2 metrów wysoka, ze szczytowym jednostronnym gronem kwiatów. Każdy kwiatek ma u nasady przykwiatek. Szypułka kwiatowa nieco zgięta, owłosiona. Z pięciu działek kielicha dwie największe, jajowato-lancetowate, są krótko zaostrome, dwie lancetowate i jedna ostro lancetowata. Wszystkie działki pokryte miękkimi włosami. Brzucho-

<sup>1)</sup> Dr. J. Dobrowolski. Uprawa roślin lekarskich (w druku).

<sup>2)</sup> R. Chodał Pharmakognostische Rundschau.

<sup>3)</sup> J. Burman, Schweiz. Wochemsch. Chemie und Pharmazie 1911 r. XLIX str. 562.



wata, spodem do 5 cm długa, zwisająca purpurowa korona kwiatowa jest dzwonkowata, dwuwargowa. Warga górna krótsza, zaokrąglona, dolna prawie czterokrotnie dłuższa, trójdzielna. Płatek środkowy dolnej wargi jest trójkątny, wystający i wewnątrz owłosiony. Dwa boczne płatki tępotrójkątne.

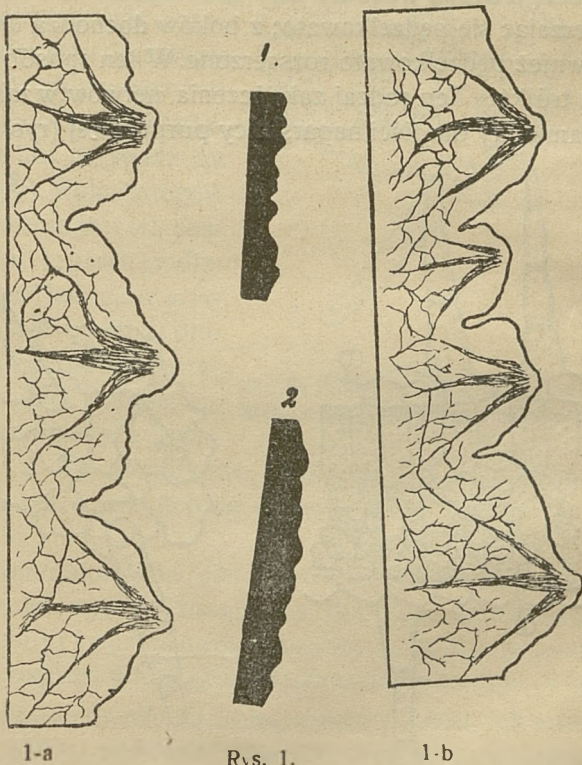
Korona zewnątrz purpurowa jest wewnątrz nieco jaśniejsza i na dolnej powierzchni pokryta ciemnymi czerwono-fioletowymi plamkami. Zebrane parami, dwusilne pręciki są krótsze od korony i przylegają do górnej powierzchni. Nitki dłuższych pręcików są u nasady wygięte. Owoc—torebka owłosiona, otoczona działkami kielicha. Kwitnie od czerwca do października. Okryta meszkiem łodyga ma liście przyziemne długoogonkowe, które ku szczytowi stają się krótko ogonkowymi i wreszcie siedzącymi.

Liście dolne około 30 cm długie i 17 cm szerokie, kuszczotowi zmniejszają się, stają się wąszymi i siedzącymi i wreszcie przechodzą w przykwiatki.

Wszystkie liście są pomarszczone i obficie owłosione. Jajowata lub podługnie jajowata blaszka liści dolnych spływa po ogonku skrzydlatym.

Wierzchołek blaszki zaostro-

ny. Brzeg blaszki nierówno i często podwójnie karbowano ząbkowany, a występujące łukowato garby ząbków, zakończone są żółtawym

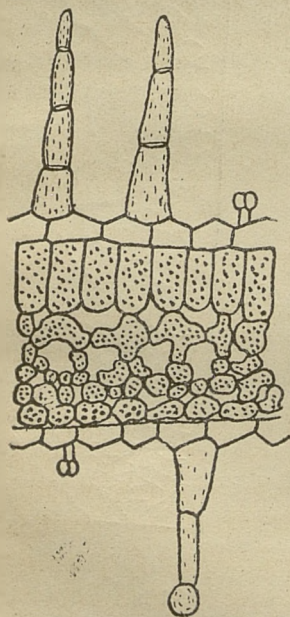


Rys. 1.

1. Brzeg blaszki liściowej *Dig. purpurea*.
- 1a. Ząbki i zakończenie nerwów u *Dig. purpurea*.
2. Brzeg blaszki liściowej *Dig. monstrosa*.
- 1b. Ząbki i zakończenie nerwów u *Dig. monstrosa*.

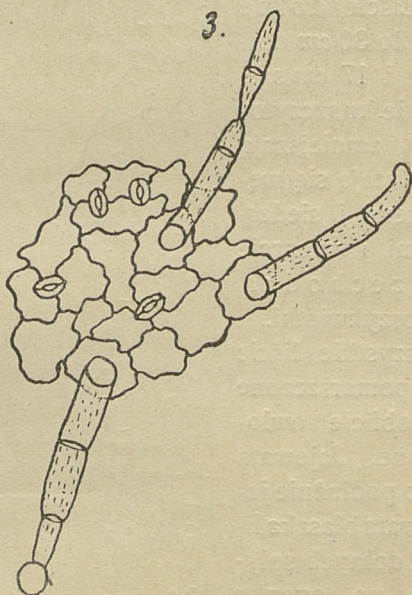
gruczołkiem, który w starszych liściach tworzy czarny chrząstkowaty wyrostek. Szparka wodna mieści się na górnej powierzchni koło wyrostka. Ciemno zielona delikatnie garbowana górna powierzchnia blaszki jest matową i pokrytą miękkimi włosami. Wysoce znaczącym jest unerwienie blaszki. Od tęgiego nerwu głównego obustronnie wychodzi 4 — 5 bocznych nerwów, które przebiegają początkowo równoległe do brzegu blaszki, a następnie odchylając się, łączą się z sobą rozgałęzieniami i tworzą delikatną siateczkę.

Jeżeli oglądać liść pod światło przez lupę, to zauważymy siateczkę przezroczystych, drobnych rozgałęzień nerwowych. Te drobne rozgałęzienia kończą się w tkance śródliścia widełkowato. Do każdego ząbka wchodzi nerw prostopadłe lub nieco pochyłe, rozszerzając się pędzelkowato; z boków dochodzą dwa nerwy boczne, również pędzelkowato rozszerzone. W ten sposób formuje się w ząbku trójkąt. Ten rodzaj zakończenia nerwów w ząbkach jest wysoce znaczący dla liści naparstnicy purpurowej (rys. 1-a).



Rys. 2.

Przekrój poprzeczny blaszki liściowej *Dig. purpurea*.



Rys. 3.

Skórka górnej powierzchni blaszki liściowej *Dig. purpurea* z włosami.

Anatomja  
liści *dig.*  
*purpurea*

Liść naparstnicy należy do typu różnostronnych (bifacialis). Mięsz palisadowy jednorzędowy, rzadziej dwu i więcej rzędowy, połączony z mięszem gąbczastym

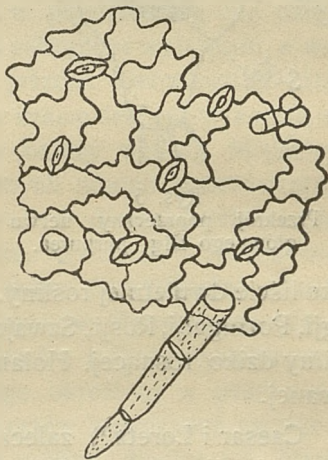


zapomocą komórek łącznych (rys. 2). Naskórek jest tylko u podstawy włosów, koło szparek i nad nerwami.

Komórki skórki górnej mogą być rozmaite, bądź prostolinijno-wieloboczne, bądź mocno zatokowate (rys. 3).

Ścianki promieniowe nie są paciorkowato zgrubiałe. Wielkość komórek skórki do  $80\ \mu$ , średnia wielkość  $56\ \mu$ .

Komórki dolnej skórki są przeważnie mocno zatokowate. Ścianki ich promieniowe (rys. 4) w szczególności nad nerwami są paciorkowato zgrubiałe, o naskórku wyraźnie brodawkowanym. Średnia wielkość komórek  $75\ \mu$ , największe  $92\ \mu$ . Szparki oddechowe na dolnej stronie o wiele liczniejsze. Stosunek ilościowy szparek dolnej do górnej powierzchni wyraża się w taki sposób, że 36 szparek dolnej powierzchni przypada na jedną górnej (Bohny). Koło brzegów blaszki na górnej stronie jest ich znacznie więcej. Postać szparek podłużnie owalna, wielkość jednakowa. Są one od  $20$  do  $40\ \mu$  (średnio  $30\ \mu$ ) długie i od  $18 - 30\ \mu$  (średnio  $23\ \mu$ ) szerokie. Obfite owłosienie składa się z ochronnych członkowanych i gruczołowych włosów. 2 — 4 komórkowe, rzadko 5 — 6 komórkowe ochronne włosy są ostro zakończone i często nieco zakrzywione (rys. 3).



Rys. 4.  
Skórka dolnej powierzchni blaszki liściowej *Dig. purpurea* z włosami.

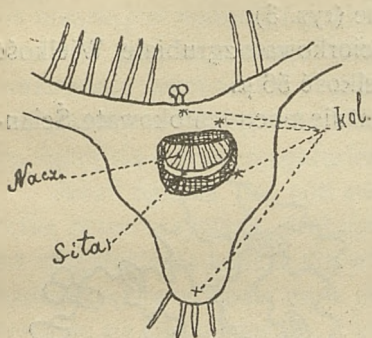
Pojedyncze komórki włosów, nierzadko spłaszczone, mają wygląd trzoneczka, cecha wysoce znamienne dla liści naparstnicy (*C. Hartwig* i *P. Bohny*) i obserwowana częściej u dziko rosnącej, aniżeli u hodowanej rośliny. Włosy gruczołowe są dwójakie (rys. 3 i 4):

1) Krótkie z główką dwukomórkową, rzadziej jedno lub czterekomórkową, na jedno, najwyżej dwu komórkowej podstawie. Tego rodzaju włosy gruczołowe spotykamy na nerwach.

2) Długie włosy gruczołowe z cztero komórkową podstawą i dwu komórkową główką. Te włosy znajdują się najczęściej pomiędzy nerwami.

Na łodydze naparstnicy purpurowej *Tschirch* znalazł włosy

podobne do włosów *Verbascum*. Nerw główny liści na górnej powierzchni jest nieco wgłębiony, na dolnej wydatny, tępo trójkątny. Wiązki sitowo naczyniowe obokległe (collateral), ułożone półksiężycowato i otoczone zwarcicą (collenchym). Pod skórą dolną znajduje się również zwarcica, której nerwy wyższego rzędu nie posiadają (rys. 5).



Rys. 5.  
Przekrój poprzeczny nerwu  
głównego *Dig. purpurea*.

Według lekospisów, belgijskiego, niemieckiego, francuskiego, japońskiego, finlandzkiego, włoskiego, holenderskiego, norweskigo, austriackiego, portugalskiego, szwedzkiego, szwajcarskiego i węgierskiego do celów leczniczych mają być używane

tylko liście dwuletniej rośliny. W Belgii, Danii, Niemczech, Norwegii, Portugalii, Rosji, Szwajcarii i na Węgrzech używane są liście rośliny dziko rosnącej. Holandia zaleca używanie liści rośliny hodowanej.

Caesar i Loretz<sup>1)</sup> zaleca zbieranie liści naparstnicy w pewnym określonym stadium rozwojowym, niekoniecznie w czasie kwitnienia. Na zasadzie kilkoletniego doświadczenia wskazują oni, że przy sprzyjającej pogodzie liście zbierać można od połowy lipca. Z rośliny zaś jednoletniej zbierać je można poczynając od sierpnia.

Na podstawie długoletnich badań Hiroshashi<sup>2)</sup> dochodzi do wniosków następujących: liście naparstnicy wykazują różne działanie w zależności od miejsca przytwierdzenia do łodygi. Najsilniejsze działanie wykazują liście szczytowe łodygi, dolne zaś znacznie słabsze. Liście zbierać należy przed kwitnieniem, zadawałając się tylko górnymi. Kwiaty zawierają więcej ciał czynnych, niż liście i najmocniej działają w początkach kwitnienia. Dobrze przechowywane kwiaty nie tracą swej wartości w ciągu roku. Ciała czynne najlepiej ekstrahują się zapomocą zimnej wody; parowanie wodnych wyciągów nie zmniejsza siły działania naparu. Miller i Baker<sup>3)</sup> badając hodowlę *Dig. gloxiniflora*, doszli do przekonania

<sup>1)</sup> Caesar et Loretz Berichte 1910 r. str. 24.

<sup>2)</sup> S. Hiroshashi Chim. a. Drugg. Jahr 4 1913.

<sup>3)</sup> F. A. Miller i W. F. Baker Pharmakognostische Rundschau 1912 str.189.



nia, że działanie liści jedno i dwuletniej rośliny jest najzupełniej identyczne. Według danych, udzielonych mi ustnie przez Dr. J. Dobrowolskiego, b. kierownika plantacji państwowej, *valor* liści jednoletniej naparstnicy purpurowej określony w pracowni farmakologicznej Uniw. Warszawskiego wynosił do 2,5 jednostek t. j. tak jak w Holandji, przyczem dodać należy, że dwa *ary* powierzchni dały 36,6 kilo surowca, a więc plon obfity. G. Sharp i F. Branson<sup>1)</sup> podają, że tak dziko rosnące, jak i hodowane rośliny wykazują jednakowe działanie. Liście zebrane w październiku nie ustępują pod względem siły działania liściom zebranym w sierpniu, a wreszcie, że liście rośliny już okwitłej i jeszcze nierozkwitłej działają jednakowo; jedynie liście zebrane w czasie deszczu wykazują słabsze działanie. Suszyć zebrane liście należy według Mitlachera<sup>2)</sup> na półkach w budynkach drewnianych mocno przewietrzanych, a wysuszony surowiec przechowywać w drewnianych paczkach, wyłożonych palonem wapnem. Edwin Newcomb<sup>3)</sup> zaleca suszyć liście w suszarniach w t<sup>0</sup> około 100 stopni (sterylizacja). Zasuszone w podobny sposób liście zebrane w Państwowej plantacji w Opoczyńskim, posiadały, zdaniem Dr. I. Dobrowolskiego<sup>4)</sup> *valor*, wynoszący 3,4 jednostek Fockego, określony w pracowni farmakognostycznej Uniw. Warsz. Do celów leczniczych zwykle stosujemy liście łodygowe kwitnącej rośliny dwuletniej. Naparstnica purpurowa niemal nie występuje u nas w stanie dzikim i wskutek tego do celów leczniczych zbieraną niebywa. W ogrodach natomiast często jest hodowaną w różnych rasach i formach. Liście naparstnicy, znajdujące się u nas w handlu, są pochodzenia nie wiadomego, o ile nie są firmy Caesara i Loretza. Słyszałem, że ogrodnicy sprzedają do aptek liście ras hodowanych w ogrodach. Liście te oczywiście nie były sprawdzane co do swej wartości leczniczej. Dodać należy, że o wartości tych ras właściwie nic nie wiemy.

Otrzymałszy nasiona kilku form ogrodowych od B-ci Hoser w Warszawie, jak również nasiona 3 ras wielkokwiatowych dig.

<sup>1)</sup> Gordon Sharp i F. Branson. *Pharmaceutical Journ. a Pharmacist* August 1912 r. str. 131.

<sup>2)</sup> W. Mitlacher *Zeitschrift f. d. landw. Versuchswes. im Oesterr* 1911 str. 12.

<sup>3)</sup> Edwin L. Newcomb. *Amer. Jour. of. Pharm.* 1912 str. 201.

<sup>4)</sup> Spostrzeżenia i uwagi nad uprawą niektórych roślin lekarskich Dr. J. M. Dobrowolski. *Str. 17. Roczniki Farmacji* 1922 r. zeszyt I.

purpurea od Bennari'ego z Erfurtu, wyhodowałem rośliny w ogrodzie Farmakognostycznym Uniwersytetu Warszawskiego i zbadałem takowe pod względem anatomicznym w celu umożliwienia wykrycia domieszek tych liści do liści oficynalnych dig. purpurea. Jednocześnie zbadałem liście tych form na zawartość w nich ciał czynnych (digitoksyny). Rozpoczętych badań nad oznaczeniem siły działania posiadanych form i ras ogrodowych następnie zaniechałem, ponieważ otrzymane rezultaty nie dały zadowalających wyników. Te ujemne wyniki badań przypisać należy stosowanej przezemnie biologicznej metodzie (Focke). Metoda ta nieścisła i skomplikowana bodaj czy dała komukolwiek wyniki jednakowe i pewne oprócz samego autora.

Z powyższych względów dokładne zbadanie siły działania form tych i ras wielkokwiatowych odłożyłem na później: stanowić ono będzie treść drugiej części pracy niniejszej.

#### *Badania własne.*

##### *Digitalis purpurea varietas Floro Albo*<sup>1)</sup>

Morfologia      Roślina została wyhodowana w ogrodzie farmakognostycznym z nasion otrzymanych od B-ci i anatomja.  
Dig. purpur.      makognostycznym z nasion otrzymanych od B-ci fl. albo.      Hoser.

Stanowisko rośliny nieco zacienione.

Roślina w pierwszym roku tworzy przyziemną różyczkę liści dużych (do 62—65 cm) z ogonkiem skrzydlatym. W roku drugim wyrasta łodyga do 1,5 m wysoka ze szczytowym jednostronnem gronem białych kwiatów. Kwiaty całe białe 5,6 cm długie bruchato-dzwonkowate. Kielich 5 działkowy. Dwie działki kielicha szeroko jajowate, ostro zakończone, dwie jajowate, ostre i najmniejsza lancetowata ostro zakończona. Cały kielich owłosiony. Korona cała biała 5 cm. długa, wydatnie brzuchowata, dwuwargowa. Korona nieco wygięta. Warga górna odwinięta nieco ku górze, zaokrąglona, o brzegu równym. Boczne płatki zaokrąglone, lekko odstające. Warga dolna ku dołowi podwinięta, trójkątna, tępa, wewnątrz prawie do połowy pokryta długimi gęstymi włosami. Brzeg wszystkich płatków owłosiony. Pręciki 4, dwa mają nitki zgięte u nasady. Zalążnia jajowata, pokryta puszką. Liście dolne do 33 cm długie i 1,25 cm szerokie, łodygowe zaś coraz mniejsze, krótkoogonkowe przechodzą następnie w siedzące, a wreszcie w przykwiatki.

<sup>1)</sup> Nazwa stosowana w ogrodnictwie, a nie w botanice.



Błaszka liścia dolnego dwuletniej rośliny jajowata, zwęża się w ogonek skrzydlaty, trójkątny, o dość ostrym wstępie; ogonek często koło osi nieco skręcony.

Brzeg blaszki nieprawidłowo, często podwójnie ząbkowany. Ząbki nieco kopułowate z wierzchołkiem płaskim i z wystającym lub nieco zagłębionym chrząstkowatym wyrostkiem, czem różnią się od liści naparstnicy purpurowej. Wierzchołek blaszki liściowej bardziej tępy, niż u naparstnicy purpurowej.

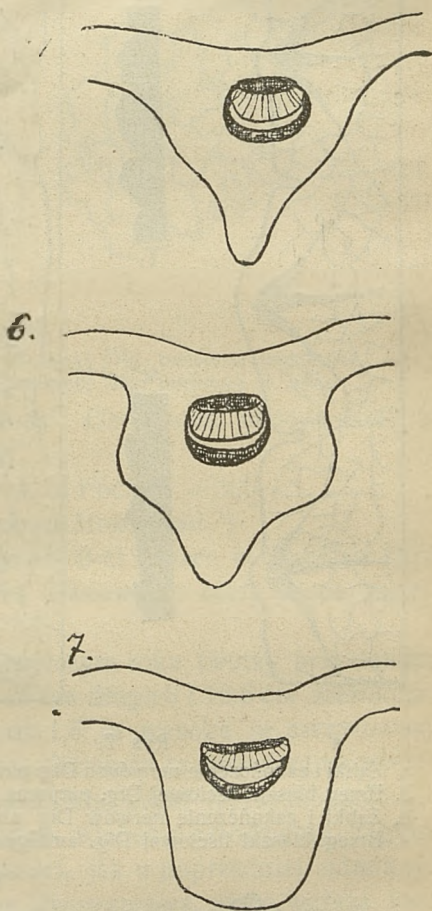
Błaszka cała bardziej wiotka i nieco cieńsza od blaszki liści naparstnicy purpurowej; 4 — 5 bocznych nerwów odbiega pod kątem ostrym od nerwu głównego.

Anatomia. Trójkątny, górą nieco wgłębiony nerw główny, ostrzej niż u naparstnicy purpurowej zakończony, posiada na dolnej powierzchni pod skórą zwarcicę. Obokległa sitowo naczyniowa wiązka bardziej półksiężycowato wygięta, otoczona dookoła zwarcicą (rys. 6).

Rozpatrywane przez lupę pod światło nerwy tworzą przeświecającą siateczkę.

Przebieg nerwów podobny do *dig. purpurea* i *monstrosa*. Wiązki, rozszerzając się pędzelkowato, wchodzą prostopadle lub nieco pochyło do chrząstkowatego wyrostka.

Nerwy boczne w ząbku tworzą charakterystyczne trójkąty (rys. 7-a).



Rys. 6.

5. Przekrój poprzeczny nerwu głównego *Dig. purpurea* fl. albo.
6. Przekrój poprzeczny nerwu głównego *Dig. purpurea monstrosa*.
7. Przekrój poprzeczny nerwu głównego *Dig. ambigua*.

Komórki skórki górnej prostolinijnowieloboczne, o ściankach promieniowych, nieznacznie paciorkowato zgrubiałych. Średnia wiel-

kość komórek  $62\mu$ , dochodzi niekiedy do  $84\mu$ , (rys. 8).

Zatokowate komórki skórki dolnej mają ścianki promieniowe z lekką paciorkowato zgrubiałą.

Średnia wielkość komórek  $80\mu$ , największa  $88\mu$ . (r. 9b).

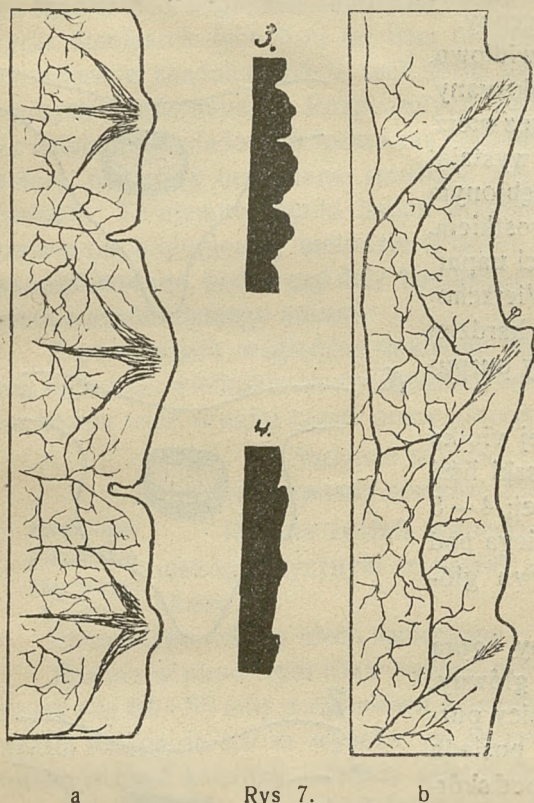
Owłosienie składa się z włosów ochronnych i gruczołowych.

Włosy ochronne przeważnie 3 — 4 komórkowe, niekiedy 5-6 komórkowe, często zakrzywione, środkowe komórki spłaszczone. Naskórek włosów brodawkowy, podstawowe komórki włosa  $40\mu$  szerokie.

Włosy gruczołowe krótkie na jedno lub dwukomórkowej podstawie, wielkości średnio  $44\mu$  z główką dwukomórkową. Szczególnie obficie obrasta ten rodzaj włosów zagłębienia ząbków.

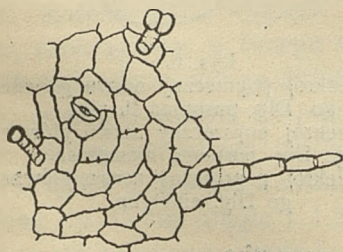
Długie włosy gruczołowe z główką dwukomórkową są dość rzadkie.

Podłużno owalne  $32\mu$  długie i  $23\mu$  szer. szparki oddechowe są o wiele liczniejsze na dolnej powierzchni.



Rys. 7.

- a. Ząbki i zakończenie nerwów u *Dig. purpurea* fl. albo.  
 3. Brzeg blaszki liściowej *Dig. purpurea* fl. albo.  
 b. Ząbki i zakończenie nerwów *Dig. ambigua*.  
 4. Brzeg blaszki liściowej *Dig. ambigua*.

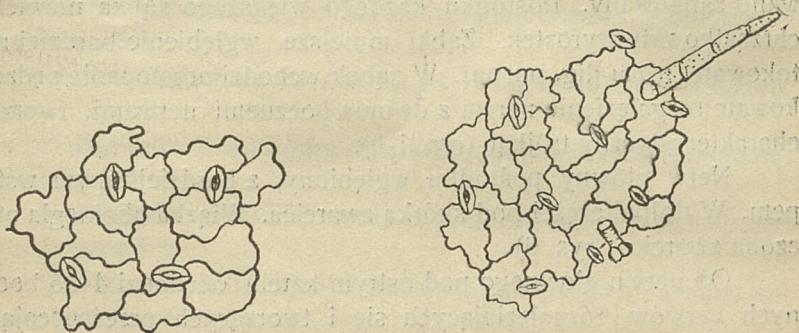


Rys. 8.

Skórka górnej powierzchni blaszki liściowej *Dig. purpurea* fl. albo.



Zebrane liście, suszone były w mocnym przewiewie, tak, że po dwóch dniach były zupełnie suche.



Rys. 9.

- a. Skórka dolnej powierzchni blaszki liściowej *Dig. purpurea monstrosa*.  
 b. Skórka dolnej powierzchni blaszki liściowej *Dig. purpurea fl. albo*.

Zawierały one 78,57% wody. Oznaczona metodą Kellera ilość digitoksyny wynosiła 0,19%.

Walog ilości oznaczony metodą Focke'a = 2,5.

*Digitalis Purpurea Monstrosa*.<sup>1)</sup>

Roślina wyhodowana z nasion B-ci Hoser w Ogrodzie Farmakognostycznym w Warszawie. Stanowisko także nieco zacienione.

#### Morfologia

Roślina w pierwszym roku tworzy przyziemną i anatomja. różyczkę liści, do 42 cm długich i 16,5 cm szerokich. W roku drugim wyrasta łodyga do 1,5 m wysoka ze szczytowo jednostronnem gronem kwiatów. Odmiana ta wytwarza na wierzchołku łodygi wielokrotnie promienisty kwiat (zjawisko pelorji). Kwiaty łodygowe do 6,8 cm długie. Kielich pięciodelny, bogato owłosiony, działki różnej wielkości, jak u poprzedniej odmiany. Korona blado czerwono-fioletowa, dwuwargowa, nieco węższa, lecz dłuższa, niż u naparstnicy purpurowej. Górą korona nieco wygięta, spodem brzuchowata. Dolna warga trójkątna pokryta fioletkowymi plamami, gęsto wewnątrz owłosiona. Górna warga owalna o brzegach równych, nieco wzniesiona, na brzegach owłosiona. Boczne płatki zaokrąglone, nieco owłosione.

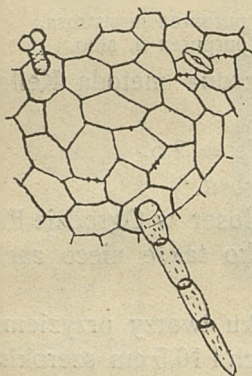
Blaszka liściowa kształtu *dig. purpurea*, zwęża się w ogonek skrzydlaty o brzegach karbowanych. Liść cały jaśniejszy, mniej

<sup>1)</sup> Nazwa ogrodowa.

pomarszczony, owłosienie nieco słabsze, niż u *dig. purpurea*. Brzeg blaszki nierówno, często podwójnie lub nawet potrójnie karbowano-ząbkowany. Pośrodku każdego większego ząbka niewielki chrząstkowaty wyrostek. Ząbki mniejsze, wgłębienie bardziej zatokowate, niż u *dig. purpur.* W ząbek wchodzi prostopadle pędzelkowate rozgałęzienie nerwu z dwoma bocznymi nerwami, tworząc charakterystyczny trójkąt (rys. 1-b).

Nerw główny pośrodku wgłębiony, z bardziej tępyim wstępem. W dolnej części pod skórą zwarcica. Wiązka obokległa otoczona zwarcicą (rys. 6).

Od nerwu głównego pod ostrym kątem odchodzi 4—5 bocznych nerwów, rozgałęziających się i tworzących przeświecającą siateczkę.



Rys. 10.  
Skóra górnej powierzchni  
blaszki liściowej *Dig. pur-*  
*purea monstrosa*.

Komórki górnej powierzchni prosto-  
linijno-wieloboczne lub słabo zatokowate  
o ściankach promieniowych paciorkowato  
zgrubiałych. Wielkość komórek średnia  
54  $\mu$ , największa 86  $\mu$  (rys. 10).

Komórki skórki dolnej zatokowate  
wielkości średniej 72  $\mu$ , największe 92  $\mu$   
(rys. 9-a).

Szparki oddechowe na górnej po-  
wierzchni, jak u *naparstnicy purpur.*, nie-  
liczne. Szparki zarówno na górnej, jak i na  
dolnej stronie podłużnie owalne, średniej  
wielkości 32  $\mu$ , około 23  $\mu$  szerokie. Owło-  
sienie składa się z włosów dwojakich:

1) Włosy ochronne 2—4 komórkowe (przeważnie czteroko-  
mórkowe), zakończone ostro, często z zakrzywionym ostrzejszym  
końcem. Trafiają się też niekiedy włosy 5—6 komórkowe, o na-  
skórku brodawkowanym. Komórka podstawowa 40  $\mu$  gruba.

2) Włosy gruczołowe z główką dwukomórkową na jednoko-  
mórkowej podstawie, wysokość każdego 44  $\mu$  i wreszcie włosy gru-  
czołowe na kilkokomórkowej podstawie, rzadkie.

Ilość digitoksyny w liściach suszonych, jak i poprzednio  
0,12%. Valor = 1,4.

Rasy *digitalis* Wielkokwiatową rasę *digitalis purpurea* (we-  
*purpurea*. długi Vilmorin'a) <sup>1)</sup> stanowią:

<sup>1)</sup> Vilmorens Blumengärtnerei T I. str. 746.



a) *Digitalis Gloxiniiflora*.

b) *Digitalis maculata* syn. *Digitalis maculata Iveryana* z barwą kwiatów nieustaloną i z kwiatami plamistymi i jednocześnie kropkowanymi.

*Digitalis gloxiniiflora* znana jest w kilku formach a mianowicie:

a) *Digitalis gloxiniiflora purpurea*, posiada kwiaty z plamami ciemniejszymi.

b) *Digitalis gloxiniifl. rosea* z plamami różowo-brunatnymi lub purpurowymi,

c) *Dig. gloxiniifl. alba* z kwiatami purpurowo-karminowo-kropkowanymi,

d) *Dig. gloxiniifl. lilacina* z kwiatami blado-różowymi, z niłym fioletowym odcieniem.

Nasiona tej ostatniej formy otrzymałem od Bennariego z Erfurtu i wyhodowałem w ogrodzie Farmakognostycznym.

#### *Digitalis gloxiniiflora lilacina*.

Morfologia

i anatomia

*dig. gloxiniifl.*

*lilacina*.

Stanowisko rośliny nieco zacienione.

Roślina w pierwszym roku tworzy różyczkę, liści. W drugim roku wyrasta łodyga kwiatowa do 1,5 metra wysoka. Łodyga puszysta od włosów.

Niezbyt liczne kwiaty tworzą szczytowe jednostronne grono. Kielich pięciopłatkowy; działki ostro jajowate różnej wielkości, jak w *digitalis purpurea*.

Korona kwiatowa 5,5 cm długa, dwuwargowa, barwy blado-różowej z lekkim fiołkowym odcieniem, spodem brzuchowata.

Warga dolna podwinięta ku dołowi, owłosiona wewnątrz i nakrapiana aż do samej nasady.

Kropki małe fiołkowe i nieco większe podwójne z białą obwódką.

Warga górna wzniesiona ku górze o brzegu prawie równym.

Pylniki żółte, małe, nakrapiane.

Liście podługnie jajowate, dolne do 30 cm długie i do 14 cm szerokie. Wielkość liści zmniejsza się ku wierzchołkowi łodygi, przechodząc w przykwiatki. Ogonki liściowe wąsko-skrzydlate. Brzeg blaszki liścia nierówno karbowano ząbkowany, z ząbkami płaskimi, jak u *dig. fl. albo*.

Obie powierzchnie blaszki puszyste. Zakończenie nerwów

takież, jak u dig.<sup>\*</sup> purpurea. Włosy trzech typów, jak u dig. purpurea.

Włosy ochronne 3—4—5 komórkowe, przeważają 5 komórkowe o powierzchni brodawkowanej. Komórka podstawy 32  $\mu$  gruba. Włosy gruczołowe z jednokomórkową główką trafiają się rzadko.

Komórki skórki górnej prostolinijno wieloboczne, ścianki komórek paciorkowato zgrubiałe; średnia wielkość komórek 76  $\mu$ , największe 120  $\mu$  wielkie.

Komórki skórki dolnej zatokowate; średnia wielkość komórek 52  $\mu$ , największa do 76  $\mu$ .

Na jedną szparkę górnej powierzchni przypada 21 szparek dolnej; szparki tej samej postaci, co i u dig. purpurea, do 36  $\mu$  długie i 32  $\mu$  szerokie.

Ilość digitoksyny — 0,15%. Valoru nie oznaczono.

*Digitalis maculata superba*.<sup>1)</sup>

Nasiona tej formy wielkokwiatowej otrzymałem od Bennariego z Erfurtu i hodowałem w ogrodzie farmakognostycznym.

Wyhodowane z nasion rośliny w drugim roku zakwitły jedne białe, a drugie czerwono.

*Digitalis maculata superba purpurea*.<sup>2)</sup>

Morfologia

i anatomja

liści dig.

maculata

superba purp.

Forma ta tworzy w pierwszym roku także przyziemną różyczkę liści do 40 cm długich i 13 cm szerokich. Blaszka splotowa po długim ogonku skrzydła. Ogonki często zabarwiane na fioletowo. W drugim roku łodyga dosięga do 1,5 m ze szczytowo gronem jednostronnych kwiatów. Łodyga cała owłosiona.

Kwiaty długie do 5,5 cm o kielichu pięciopłatkowym bogato owłosionym. Korona do 5 cm długa barwy fioletowo-purpurowej z białawo-żółtawymi brzegami. Wargę dolną wewnątrz owłosioną i usianą ciemno-fioletowymi plamami i kropkami z białą obwódką. Dolna warga wystaje opuszczona ku dołowi; górna warga o brzegu prawie równym. Pylniki żółte nakrapiane. Zalążnia owłosiona. Liście dwuletniej rośliny kształtu dig. purpur. do 27 cm długie, dolne z ogonkiem skrzydlatym, zwykle fioletowo prążkowanym. Górna powierzchnia liści żywo zielonej barwy obficie owłosiona, dolna jaśniejsza, puszysta. Nerw główny typu dig. purpurea.

<sup>1)</sup> i <sup>2)</sup> Nazwy form ogrodowych.



Brzeg blaszki nieprawidłowo karbowano ząbkowany, często podwójnie ząbkowany z ząbkami wydatnymi i chrząstką na wierzchołku, szczególnie widoczną u młodych liści. Zakończenie nerwów takie same, jak u *Dig. purpurea* (rys. 11-b). Komórki skórki dolnej powierzchni wokoło szperek faliste.

Włosy licznetych samych typów, co i u *dig. purpurea*; włosy ochronne 3—4 komórkowe, przeważają jednak 4 komórkowe, chociaż trafiają się i 5 komórkowe.

Naskórek włosów brodawkowy.

W wgłębieniach ząbków liczne włosy gruczołowe z główką dwukomórkową na jednokomórkowej podstawie; długie włosy gruczołowe rzadkie.

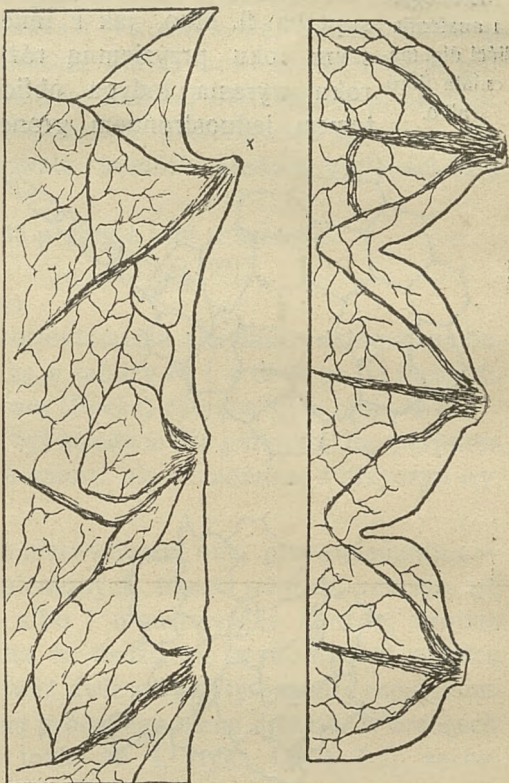
Komórki skórki górnej prostoliniowo-wieloboczne lub nieco zatokowate ze ściankami promieniowymi, nieopaciorkowato zgrubiałymi (rys. 12-a). Średnia wielkość komórek 64  $\mu$ , największe komórki 100  $\mu$ .

Komórki skórki dolnej zatokowate; średnia wielkość komórek 72  $\mu$ , największe komórki 100  $\mu$  (rys. 12-b).

Szparek oddechowych na górnej powierzchni średnio po jednej w polu; na dolnej średnio po 19 w polu.

Kształt szparek taki sam, jak u *dig. purpurea*; szparki długie 36  $\mu$ , szerokie 24  $\mu$ .

Ilość digitoksyny 0,21%. Valoru nie oznaczono.

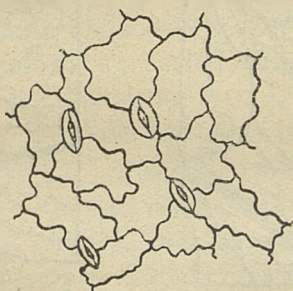
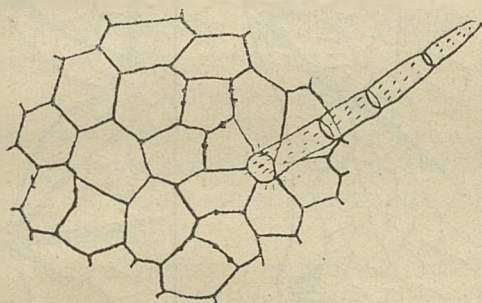


Rys. 11. a. Zakończenie nerwów *Dig. lanata*. b. Brzeg blaszki i ząbki *Dig. maculat. purpurea superba*.

*Dig. macul. superba fl. albo*<sup>1)</sup>.

Morfologia  
i anatomja  
liści dig. ma-  
culata floro  
albo.

Stanowisko rośliny słoneczne. *Dig. maculata* *superba fl. albo*, jak i inne formy tworzy w pierwszym roku przyziemną różyczkę liści. W drugim roku wyrasta łodyga obficie uwłosiona ze szczytowem jednostronnem gronem kwiatowem. Kwiaty



Rys. 12.

- a. (Rysunek górny). Skórka górnej powierzchni blaszki liściowej. *Digitalis maculata purpurea*.  
b. (Rysunek dolny) Skórka dolnej powierzchni blaszki liściowej *Digitalis maculata purpurea*.

*rea*, do 25 cm długie i do 9 cm szerokie; dolne z ogonkiem krótko skrzydlatym. Górna powierzchnia blaszki żywo zielonej barwy, obficie owłosiona, dolna puszysta, jaśniejsza. Nerw główny typu dig. purpur.

Brzeg blaszki typu dig. floro albo, a więc ząbki z prawie płaską powierzchnią i chrząstką mało wydatną. Zakończenie nerwów takież, jak u dig. purpurea. W zagłębieniach liczne włosy gruczoło-

z kielichem pięciopziałkowym o działkach różnej wielkości. Korona biała do 5,4 cm. długo, dwuwargowa; wargę dolną opuszczoną ku dołowi. Rurka korony na górnej powierzchni nieco wklęsła. Wargę dolną wewnątrz usiana kilku większemi plamami i mnóstwem małych kropek, barwy czerwono - fioletowej. Część z plamami i kropkami okryta licznemi włosami.

Wargę górną o brzegu kolistym. Pylniki przecików usiane ma-

łemi fioletowo-czerwonymi kropkami. Liście kształtu dig. purpu-

<sup>1)</sup> Forma ogrodowa wyhodowana przezemnie z nasion *Dig. maculata superba*.



we z dwukomórkową główką na krótkiej jednokomórkowej podstawie.

Włosy bardzo liczne tych samych typów, co i u *dig. purpurea*. Włosy ochronne przeważają 4-komórkowe, chociaż liczne są i 5-komórkowe. Komórki skórki górnej powierzchni blaszki prostolinijno wieloboczne; komórki średniej wielkości 68  $\mu$ , największe 90  $\mu$ . Ścianki bardzo nieznacznie paciorkowato zgrubiałe. Komórki skórki dolnej zatokowate: komórki średniej wielkości 72  $\mu$ , największe 90  $\mu$ .

Szparki oddechowe 36  $\mu$  długie i 28  $\mu$  szerokie.

Ilość digitoksyny . . . . . 0,12%.

Valoru nie oznaczono.

W celu łatwiejszego orjentowania się dane anatomiczne badanych ras i form zebrane są w tablicy № I: a dane co do ilości digitoksyny i oznaczenie valoru (Focke) zebrane są w tabl. № II.

Valor ten oznaczony był zaledwie dla gatunku *Dig. purpurea* i dwóch jej ras, dla innych valoru nie oznaczałem z przyczyn wyszczególnionych powyżej.

Pewne różnice już na pierwszy rzut oka, przy oglądaniu całkowitych liści wyżej wymienionych trzech odmian, rzucają się w oczy. Liście rasy *floro albo* i *monstrosa* są bardziej wiotkie i mniej owłosione. Różnice te dadzą się wytłumaczyć różnicą w oświetleniu roślin ponieważ dwie rasy były bardziej zacienione. Liście *digitalis monstrosa* są prócz tego nieco dłuższe. W brzegach blaszki, jak to widać z tabl. № I, (rys. 1-b i 7-a) zachodzą również pewne różnice. Najbardziej różni się rasa *dig. purp. floro albo*, *dig. macul. fl. albo* i *dig. gloxiniifl. lilacina* o wierzchołku ząbków prawie płaskim, często nawet wokoło chrząstki nieco wklęsłym, podczas gdy *dig. purpur.* i *dig. purpur. monstrosa*, *digit. macul. purp.* często potrójnie karbowany, przyczem dwa ząbki są mniejsze, a zatoki w blaszce znacznie węższe. Nerw główny (rys. 5 i 6) u ras i form białych jest bardziej ostry, a mianowicie wiązki bardziej półksiężycowato wygięte, otoczone zwarcicą, znajdującą się również pod skórą dolnej, ostrej części. Nerw ten u rasy *monstrosa* najszerszy, przebieg nerwów wtórnych jednakowy u wszystkich trzech ras i trzech form, jak również charakterystyczne zakończenie, a mianowicie wejście nerwów prostopadłe lub zaledwie nieco pochylone z tworzeniem trójkąta.

## T a b l i

	DIG. PURPUREA	DIG. PURPUREA FLORO ALBO	DIG. PURPUREA MONTROSA
Kształt liścia	Podłużnie jajowaty; Ogonek skrzydlaty W różyczce ogonek często czerwono- fioletowy	Bardziej jajowaty; Ogonek skrzydlaty.	Podłużnie jajowaty; Ogonek skrzydlaty.
Brzeg blaszki liścia	Nieprawidłowo podwójnie karbo- wano-ząbkowany	Nieprawidłowo podwójnie karbo- wano-ząbkowany; wierzchołek ząbka płaski.	Nieprawidłowo podwójnie, a nawet potrójnie karbowano- ząbkowany.
Owłosienie	Obfite	Mniej obfite	Mniej obfite
Rodzaj owłosienia	Włosy ochronne przeważnie 4 ko- mórkowe. Włosy główkowate 2 typów	Włosy ochronne 3-4-5 komórkowe. Włosy główkowa- te 2 typów.	Włosy ochronne 3-4-5 komórkowe. Przeważają 4 ko- mórkowe. Wł. główkowate 2 typów.
Skórka górna	Prostolinijno wieloboczne lub niewielko zatokowate komórki. Śred. wielk. kom. 56 $\mu$ Najw. „ „ 80 $\mu$	Prostolinijno wielo- boczne komórki; ścianki promien. niewielko paciorkowato zgrubiałe Śred. wielk. kom. 62 $\mu$ Najw. „ „ 84 $\mu$	Prostolinijno wielo- boczne komórki; ścianki paciorkowato zgrubiałe. Śred. wielk. kom 54 $\mu$ Najw. „ „ 86 $\mu$
Skórka dolna	Zatokowate komórki. Śred. wielk. kom. 75 $\mu$ Najw. „ „ 92 $\mu$	Zatokowate komórki Śred. wielk. kom 80 $\mu$ Najw. „ „ 98 $\mu$	Zatokowate komórki Śred. wielk. kom. 72 $\mu$ Najw. „ „ 92 $\mu$
Szparki oddechowe	Długie 30 $\mu$ Szerokie 23 $\mu$	Długie 32 $\mu$ Szerokie 23 $\mu$	Długie 32 $\mu$ Szerokie 23 $\mu$



## c a. № I.

DIG. MACULATA PURPUREA	DIG. MACULATA FLORO ALBO	DIG. GLOXINIIFLORA LILACINA
Podłużnie jajowaty. Ogonek skrzydlaty i w różyczce zwykle czerwono-fioletowy.	Podłużnie jajowaty. Ogonek krótko skrzydlaty.	Podłużnie jajowaty; Ogonek krótko skrzydlaty.
Jak u dig. purpurea	Jak u dig. purpurea floro albo	Nieprawidłowo karbowano-ząbkowany; wierzchołek ząbka płaski.
Obfite	Obfite	Obfite
Wł. ochronne przeważ- nie 4 komór. Wł. główkowate 2 typów	Wł. ochronne 4-5 ko- mórkowe; przeważają 4 komór. Wł. główkowate 2 typów	Wł. ochronne 3-4-5 kom.; przeważają 5 komór. Wł. główkowate 2 typów
Jak u dig. purpurea Śred. wielk. kom. 64 $\mu$ Najw. " " 100 $\mu$	Jak u dig. purpurea floro albo Średn. wielk. kom. 68 $\mu$ Najw. " " 90 $\mu$	Prostolinijno-wieloboczne komórki; ścianki paciorkowato zgrubiałe Średnia wielk. kom. 76 $\mu$ Najw. " " 120 $\mu$
Zatokowate komórki Śred. wielk. kom. 72 $\mu$ Najw. " " 100 $\mu$	Zatokowate komórki Średn. wielk. kom. 72 $\mu$ Najw. " " 90 $\mu$	Zatokowate komórki Średnia wielk. kom. 52 $\mu$ Najw. " " 76 $\mu$
Długie 36 $\mu$ Szerokie 24 $\mu$	Długie 36 $\mu$ Szerokie 28 $\mu$	Długie 36 $\mu$ Szerokie 28 $\mu$

Komórki skórki górnej naparstnicy purpurowej są wielobocznie prostolinijne lub zatokowate, lecz ścianki promieniowe bez paciorkowatej zgrubiałości. Formy z białymi kwiatami mają takąż skórkę (rys. 10 i 8), lecz ścianki promieniowe są zlekka paciorkowato zgrubiałe, u ras zaś *monstrosa* i *gloxiniifl.* lilacina zgrubienie to występuje najwyraźniej.

W skórcie dolnej powierzchni najbardziej zatokowatemi są komórki naparstnicy purpur.

Różnice wielkości komórek, wyrażone w mikronach, jak również wielkość i kształt szparek, są stosunkowo tak nieznaczne, że w rachubę brane być nie mogą.

Włosy, pokrywając blaszkę są też naogół jednakowe, w rasie *monstrosa* przeważają włosy czterekomórkowe o końcach nieco ostrzejszych, gdy u formy *dig. gloxiniifl.* lilacina przeważają 5-komórkowe.

Tablica № II.

	Dig purp.	R a s a		F o r m a		
		Dig. purp. fl. alb.	Dig. purp. monstrosa	Dig. macul. purp.	Dig. macul. fl. alb.	Dig. gloxinii fl. lilacina
Ilość digitoksyny	0,26	0,19	0,12	0,21	0,12	0,15
Valor (Focke)	1,2	2,5	1,4	nie oznaczano		

Ilość digitoksyny oznaczona metodą Keller-Fromme jest najwyższą u *dig. purpurea*, lecz jak widać z załączonej tablicy valor (Focke) nie znajduje się w żadnym stosunku do ilości digitoksyny.

Rezultat ten zgadza się w zupełności z wynikiem pracy A. Tschircha i F. Waltera, dlatego też w badanych trzech formach ogrodowych *dig. macul. purpur.*, *dig. macul. fl. albo* i *dig. gloxiniiflora lilacina* valoru tego nie określałem, odkładając na później.

A. Tschirch i F. Walter<sup>1)</sup> uznają, że digitoksyna nie przedstawia pojęcia ściśle określonego i nazywają ją pseudodigitoksyną. Obaj autorzy badali liście naparstnicy różnego pochodzenia i oznaczali ilość digitoksyny i jednocześnie valor za pomocą metody

<sup>1)</sup> Tschirch i F. Walter. Schweiz. Apothek. Zeitg. № 37, 1918 r. str. 469.



Fockego. Rezultaty badań ich zestawione w tablicy wykazują dosadnie, że ilość digitoksyny nie znajduje się w żadnym stosunku do siły działania.

Liście № 1 ilość digitoksyny 0,273% valor 2,45

„ „ 2 „ „ 0,286% „ 1,75

„ „ 3 „ „ 0,297% „ 1,4

„ „ 4 „ „ 0,186% „ 1,75

Jak należy tłumaczyć powyższe zjawisko: małą rozpuszczalnością krystalicznej digitoksyny w wodzie (1 : 2000), a więc i w naparze używanym do oznaczania valoru, czy też nieściśłością biologicznej metody Fockego, kwestja ta pozostaje dotychczas do rozstrzygnięcia.

Według Ziegenbeina otrzymana z suchych liści digitoksyna działa od 2,5 do 6,5 razy słabiej, niż odpowiednia ilość suszonych liści.

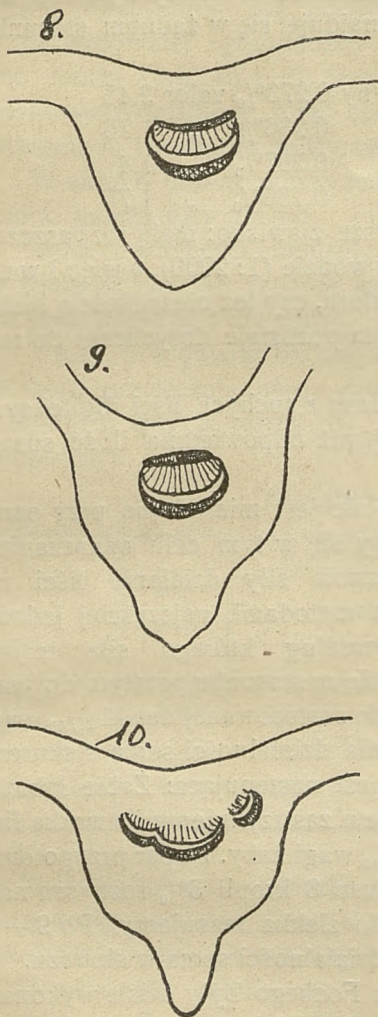
Ponieważ ilość digitoksyny nie jest miarodajną przy oznaczaniu wartości liści, posługujemy się w tym celu oznaczaniem siły działania liści. Do oznaczania siły działania liści naparstnicy posługujemy się kilku metodami, najczęściej jednak, jak dotąd, metodą Fockego, według którego siła trująca liści (valor) czyli miano znajduje się w stosunku prostym do wagi zwierzęcia (żaby), a w odwrotnym do zastosowanej dawki ( $\frac{1}{40}$  wagi) i czasu, niezbędnego do zatrzymania działalności serca w skurczu.

Ogólna zasada tej metody jest następująca: Żabie ławkowej (rana temporaria) z odkrytem sercem zastrzykujemy do worka limfatycznego napar z liści w ilości  $\frac{1}{40}$  wagi żaby. Napar przygotować należy w stosunku 1 : 10 z dodatkiem 8 kropli 5% roztworu natr. carbonicum. Po wstrzyknięciu udo zlekka masujemy. Po 9—11 minutach występuje zatrzymanie działalności serca w skurczu.

O ile warunki podane przez Fockego były ściśle wykonane skurcz następuje w tym czasie i valor liści ma wynosić 4,0—4,5 jednostek Fockego.

Valor ten wylicza się według wzoru  $V = \frac{P}{d \cdot t}$ , przyczem czas winien wynosić dla dobrych preparatów do 10 minut, co właśnie stanowi valor 4.  $P$  = waga żaby,  $d$  = dawka i  $t$  = czas występowania skurczu.

Valor ten jest używany do oznaczania dobroci liści u Caesara i Loretza. (Folia Digitalis titrata — mianowane liście naparstnicy).



Rys. 13.

8. Przekrój poprzeczny nerwu głównego *Dig. lutea*.  
 9. Przekrój poprzeczny nerwu głównego *Dig. ferruginea*.  
 10. Przekrój poprzeczny nerwu głównego *Dig. lanata*.

Inne bardziej ściśle biologiczne metody stosowane do oznaczania dobroci liści, zebrane są w referacie prof. I. Modrakowskiego<sup>1)</sup>, dlatego też przytaczać ich tu nie będę.

### *Digitalis Ferruginea.*

*Digitalis ferruginea* jest rośliną wieloletnią swojską w Armenji, na Kaukazie, we Włoszech, na austriackim pobrzeżu Adrjatyku, w Krainie, Kroatji, Dalmacji i na Węgrzech.

Linneusz (Linn. spec. str. 867) tak ją charakteryzuje: „*Dig. ferruginea folio oblongo lanceolatis cauleque glaberrimo, racemo multifloro, calicis segmentis ovali-ellipticis scarioso marginatis, glabris, corollae limbo lanato lacinia intima ovata*“.

H. Goldenberg<sup>2)</sup>, który badał *dig. ferruginea* stwierdza, że liście tej naparstnicy wykazują typowe dla naparstnicy działanie. Siła działania liści *dig. ferruginea* przewyższa jednak dziesięciokrotnie siłę działania liści *dig. purpurea*.

Działanie to wyraża się w następujący sposób: 3 centygramy liści *dig. ferruginea* odpowiadają w działaniu 1 mg digitaleiny Merck'a. Nasiona tej naparstnicy wykazują identyczne z liśćmi działanie.

<sup>1)</sup> I. Modrakowski. Wiadomości Farmaceutyczne. 1918 r.

<sup>2)</sup> H. Goldenberg. Experimentelle Untersuchungen einiger in ihrer Wirkung noch unbekannter *Digitalis Species*.

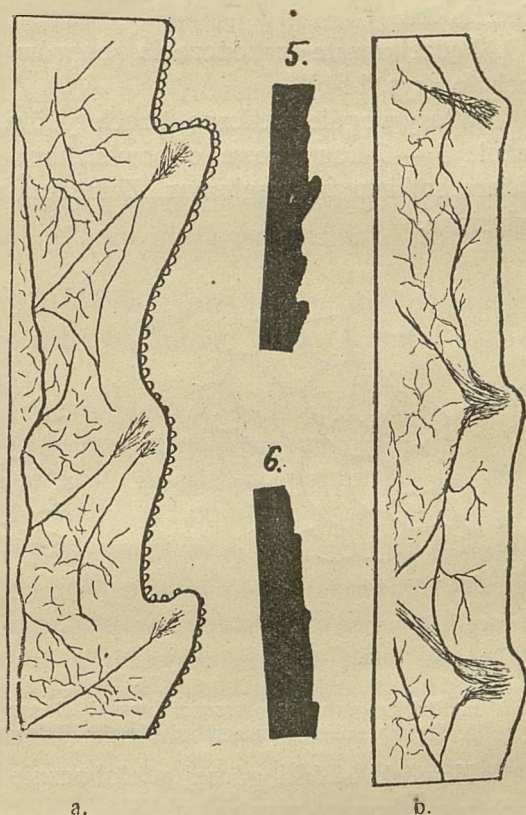


Morfologia i anatomja liści dig. ferruginea. Do badań roślinę wyhodowałem z nasion, otrzymanych od Bennariego z Erfurtu. W pierwszym roku roślina tworzy przyziemną różyczkę liści do 30 cm i więcej długich. W drugim roku wyrosła łodyga kwiatowa ze szczytowem gronem kwiatów, które z wyjątkiem barwy podobne są do kwiatów dig. lanata

Kwiaty posiadają kielich pięciodziałkowy; działki kielicha podłużnie jajowate na wierzchołku zaokrąglone. Korona krótko dzwonkowata prawie kolista, dwuwargowa. Płatek środkowy wargi dolnej prawie równej z koroną długości o brzegu zaokrąglonym odchylony znacznie ku dołowi. Płatki boczne dolnej wargi prawie tej samej długości, co i warga górna.

Korona barwy ochry, wewnątrz rdzawo siateczkowato-żyłkowana; dolna wystająca wargaczernowawo brunatna, siateczkowato-żyłkowana.

Liście podłużne, szeroko lancetowate, barwy ciemno zielonej, są nagie o powierzchni błyszczącej. Dolna powierzchnia jaśniejsza i słabo owłosiona, głównie na nerwach. Wierzchołek blaszki liścia ostry. Brzeg blaszki liścia u nasady równy, ząbki występują dopiero ku wierzchołkowi blaszki; młode liście są u nasady puszyste



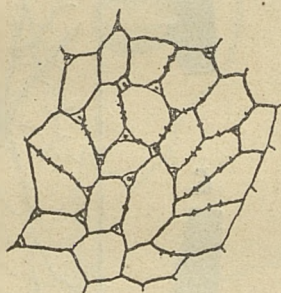
Rys. 14.

- a. Ząbki i zakończenie nerwów Dig. lutea.
- 5. Brzeg blaszki liściowej Dig. lutea.
- b. Zakończenie nerwów Dig. ferruginea.
- 6. Brzeg blaszki liściowej Dig. ferruginea.

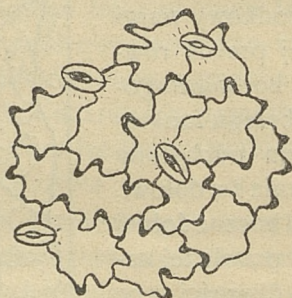
od wielkiej ilości włosów; komórki skórki blaszki faliste. Nerw główny i boczne na górnej powierzchni blaszki wklęsły. Nerw tępotrójkątny (rys. 13-9). Wiązki sitowo naczyniowe obokłęgłe. Pod dolną skórka — kilkorzędowa zwarcica. Od nerwu głównego pod kątem ostrym odchodzi 4 — 5 wtórnych nerwów, przebiegających prawie równoległe do brzegu blaszki i tworzących rozgałęzienia na wierzchołku.

Pędzelkowate zakończenia nerwów wchodzą do ząbków pochyło (rys. 14-b).

Włosy wogóle nieliczne, trzech typów. Włosy ochronne przeważnie 5 — 7-komórkowe o powierzchni mało brodawkowanej, z wierzchołkiem zaokrąglonym. Zwłaszcza młode liście są obficie owłosione.



a.



b.

Rys. 15.

a. Skórka górnej powierzchni blaszki liściowej *Dig. ferruginea*.

b. Skórka dolnej powierzchni blaszki liściowej *Dig. ferruginea*.

Komórki skórki górnej wielobocznie prostolinijne, o ściankach paciorkowato zgrubiałych.

Średnia wielkość komórek  $64\ \mu$ , największa  $96\ \mu$  (rys. 15-a).

Komórki skórki dolnej zatokowate, ze ściankami zgrubiałymi, szczególnie na zakrętach. Średnia wielkość komórek  $68\ \mu$ , największa  $96\ \mu$  (rys. 15-b).

Szparki na górnej powierzchni rzadkie, na dolnej nieliczne tego samego kształtu, co i u *dig. purpurea*.

Szparki długie  $36\ \mu$  i  $26\ \mu$  szerokie.

Ilość digitoksyny . . . . . 0,27.

Valor . . . . . 1,4.



*Digitalis Lanata*

Roślina wyhodowana z nasion od Bennariego z Erfurtu w ogrodzie farmakognostycznym Uniwersytetu Warszawskiego.

**Morfologia i anatomia** W pierwszym roku roślina tworzy przyziemną różyczkę liści do 20 cm długich i 4,5 cm szerokich. W drugim Dig. Lanata. roku wyrasta łodyga z odcieniem brudno fioletowym, słabo owłosiona w dolnej części, natomiast w górnej części, a szczególnie około kwiatostanu, puszysta od długich włosów. Łodyga ze szczytowem, lecz nie jednostronnem gronem.

Kielich na krótkiej szypułce, 5 dzielną o działkach lancetowatych, owłosiony; dwie działki nieco szersze. Korona gęsto owłosiona, krótko dzwonkowata, z brzegiem wypukłym; biała dolna warga znacznie dłuższa, nieco ku górze podniesiona, a następnie podwinięta ku dołowi.

Warga górna, podzielona na 2 ostre trójkątne płaty, mniejsze od bocznych. Zasadnicza barwa korony biała z licznymi żółtawo fioletowymi żyłkami.

Górna powierzchnia korony ma 2 smugi fioletowe.

Do górnej wargi ściśle przylegają 4 dwusilne pręciki.

Liście szeroko lancetowate, na wierzchołku zaostrome; dolne z ogonkiem skrzydlatym, środkowe i górne siedzące.

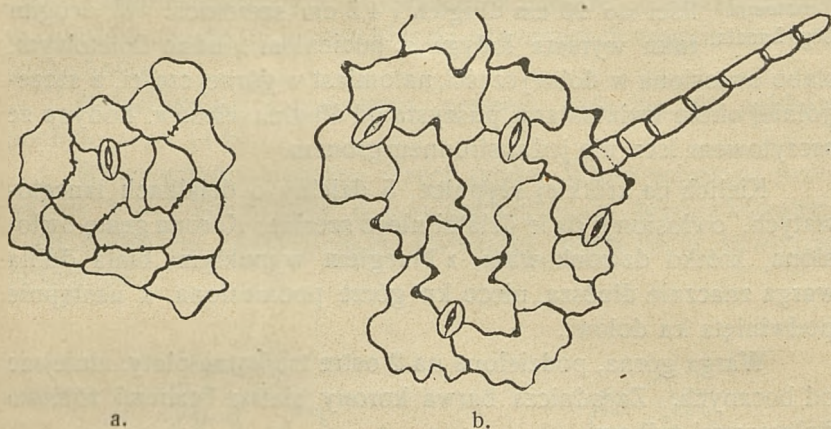
Brzeg blaszki wyraźnie ząbkowany, szczególnie ku wierzchołkowi; u starszych liści brzeg blaszki równy. Górna powierzchnia blaszki zielona prawie naga, matowa, dolna nieco jaśniejsza, prawie naga i tylko na wyraźnie wydatnych nerwach słabo owłosiona. Brzeg blaszki silnie falisty, u nasady obficie okryty długimi włosami.

Nerw główny wydatny na dolnej powierzchni, ostro trójkątny (rys. 13 i 10) z 2 parami bocznych nerwów, odbiegających pod kątem bardzo ostrym. 2 dolne boczne nerwy biegną ku brzegom, gdzie tworzą rozgałęzienia. Druga para wychodzi nieco wyżej i przebiega prawie równolegle do brzegów, tworząc 2 linie po obu stronach nerwu głównego, i kończy się u wierzchołka koło nerwu głównego.

Nerwy zakończone są pędzelkowato, wstępują pochyło w ząbki. W starszych liściach z równym brzegiem, w miejscach zakończenia nerwów są niewielkie wgłębienia (rys. 11-a).

Komórki skórki górnej powierzchni prostolinijno wieloboczne, o ściankach nieco paciorkowato-zgrubiałych; średnia wielkość komórek 72  $\mu$ , największa 100  $\mu$  (rys. 16-a).

Komórki skórki dolnej powierzchni prostolinijno zatokowate o ściankach paciorkowato-zgrubiałych, szczególnie na zakrętach. Średnia wielkość komórek  $68\mu$ , największa  $96\mu$  (rys. 16-b).



Rys. 16.

- a. Skórka górnej powierzchni blaszki liściowej *Dig. lanata*.  
b. Skórka dolnej powierzchni blaszki liściowej *Dig. lanata*.

Szparki oddechowe na obu powierzchniach, znacznie liczniejsze jednak na dolnej. Stosunek ilości szparek górnej i dolnej powierzchni 1:4.

Szparki obu powierzchni eliptyczne  $36\mu$  długie i  $24\mu$  szerokie. Owłosienie naogół słabe, 3 typów. Włoski ochronne 8-10-11 komórkowe, na wierzchołku tępe, komórka u podstawy  $45\mu$  szeroka. Ścianki komórek cienkie o słabo brodawkowanej powierzchni. Włosy gruczołowe są rzadkie.

Ilość digitoksyny 0.21

Valoru nie oznaczono.

Cechy anatomicznie badanych przezemnie gatunków *ferruginea* i *lanata* zebrane są (tabl. IV), dla porównania z cechami gatunku *purpurea* i z cechami gatunków *ambigua* i *lutea*, badanymi przez C. Hartwicha i P. Bohny <sup>1)</sup>. Opis tych dwóch ostatnich rodzajów, podany jest poniżej. Dane dotyczące się ilości digitoksyny w badanych liściach i oznaczenie valoru zebrane są w tablicy III.

<sup>1)</sup> C. Hartwich i P. Bohny. Beiträge zur Kenntniss des Digitalisblattes und seiner Verfälschungen.



*Dig. Grandiflora Lamarque* <sup>1)</sup>.

*Dig. Grandiflora Rehb. Dig. ambigua Murray.*

*Dig. Ochrolenca jacquin. Dig. lutea Polich.*

Z korzenia wychodzi łodyga i różyczka liści w roku pierwszym.

Łodyga od  $\frac{1}{3}$  do 1 metra wysokości, gęsto ulistniona, zakończona gronem kwiatów. Zwykle nierozgałęziona, okrągła lub nieco kanciasta, pokryta białymi odstającymi włosami, w górnej części krótszemi i gruczołowemi.

Liście dolne duże, podługne, zaostrome, zwężają się ku dołowi, gdzie blaszka liściowa tworzy skrzydełka, otaczające nerw główny aż do miejsca przytwierdzenia. Liście górne znacznie krótsze, u nasady szersze, siedzące, szeroko lancetowate, przechodzą stopniowo w przykwiatki.

Brzeg blaszki liściowej u wierzchołka gęsto pokryty małemi ząbkami, których ilość stopniowo ku dołowi zmniejsza się, ginąc zupełnie u nasady.

Nerw główny i odchodzące pod ostrym kątem nerwy wtórne silnie owłosione wystają na dolnej, jaśniejszej nieco powierzchni. Górna powierzchnia i brzegi blaszki są silnie owłosione (rys. 6).

Grono leiwokwiatowe, jednostronne. Wzniesione ku górze szypułki kwiatowe są krótsze od okrywających je wązko lancetowatych, ostro zakończonych przykwiatków. Szypułka kwiatowa i kielich pokryte włosami gruczołowemi.

Kielich 5 działkowy, 2 działki większe, 2 średniej wielkości i jedna wązko lancetowata, najmniejsza.

Lekko wzniesiona do  $2\frac{1}{2}$  i więcej cm długa, blado-żółta korona z niewyraźnemi brunatnemi siatkowatemi żyłkami wewnątrz, zlekka dzwonkowata, u nasady zwężona, tworzy na dolnej powierzchni dość silnie wystający brzusek.

Korona dwuwargowa, płatki wzniesione, 5-ciokrotne.

Zmienny co do wielkości i formy płatek środkowy dolnej wargi jest większy i bardziej wystający. Dwa boczne płatki dolnej wargi również trójkątne. Warga górna tępa lub ząbkowana, wzniesiona do góry. Pręciki przylegają parami do górnej wargi, nitki u nasady zgięte, połówki pylników wierzchołkami swemi przymocowane do nitki.

<sup>49)</sup> Schlechtendal und Langethal T. 17. 198 Flora von Deutschland.

Zalążnia podłużna, pokryta włosami gruczołowemi, kończy się zagiętą na górnym końcu szyjką.

Jajowato-eliptyczna torebka z dwoma głębokimi bocznymi bruzdami otwiera się dwoma szwami.

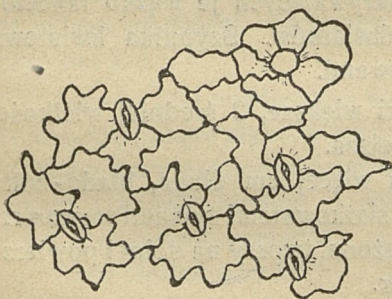
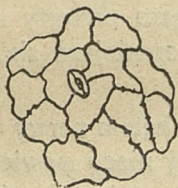
Morfologia i anatomia liścia dig. ambigua według Hartwika i Bohny. Liście jasno zielone wązko, lub szeroko lancetowate gładkie<sup>1)</sup>, nigdy nie pomarszczone, wązko lancetowate i często zakończone wyraźnym ostrzem, szczególnie u liści górnych.

Bohny. Liście dolne są długie od 13 do 20 cm i więcej; ku górze wielkość liści się zmniejsza. Tylko liście dolne

zwężają się w ogonek znacznie krótszy od ogonka dig. purpurea. Brzeg liścia jest nieprawidłowo i wyraźnie ząbkowany. Górna i dolna powierzchnia blaszki słabo owłosiona; nerw i brzeg blaszki owłosiony, szczególnie u młodych liści. Od nerwu głównego pod ostrym kątem odbiega 4—5 bocznych nerwów. Boczne nerwy biegną początkowo w prostej linii ku obwodowi, zakręcają następnie, idąc prawie równoległe do brzegu ku wierzchołkowi.

Nerwy drugo i trzeciorzędne są słabiej rozwinięte, niż u liści naparstnicy purpurowej, a utworzone przez nie oczka siatki są znacznie mniejsze, przeświecającej natomiast siateczki nerwów brakuje. Do ząbka pod ostrym kątem wchodzi gałązka nerwu bocznego i rozgałęzia

się w nim pędzelkowato. Ta krzywa wejścia nerwu do ząbka jest bardzo charakterystyczną. Komórki skórki górnej zmienne



Rys. 17.

a. (Górny rysunek). Skórka górnej powierzchni blaszki liściowej Dig. ambigua.  
b. (dolny rysunek). Skórka dolnej powierzchni blaszki liściowej Dig. ambigua.

<sup>1)</sup> C. Hartwich i P. Bohny. Beiträge zur Kenntniss des Digitalisblattes und seiner Verfälschungen.



co do swej formy, bywają prostolinijne lub zatokowate o ściankach paciorkowato zgrubiałych; średniej wielkości 86  $\mu$ ., dochodzą niekiedy do 120  $\mu$ .

Komórki skórki (rys. 17-b) dolnej są stale silnie zatokowate, przyczem naskórek miejscami prążkowany, średniej wielkości komórki dosięgają 78  $\mu$ ., największe 93  $\mu$ .

Szparki oddechowe występują na obu powierzchniach, liczniejsze są jednak na dolnej. Średnia wielkość szparek 30  $\mu$  do 40  $\mu$ .

Owłosienie składa się z włosów ochronnych i gruczołowych.

Włosy ochronne są 4 – 6 komórkowe, przyczem ilość 5 komórkowych włosów dosięga 45%.

Włosy gruczołowe dwóch typów z główkami 2-3 komórkowymi.

Własne badania liści *digitalis ambigua* z Opoczna, od prof. Wł. Szafera zgadza się w zupełności z podanym opisem, powtarzać go zatem nie będę i podam tylko własne dane anatomiczne. Brzeg blaszki wyraźnie ząbkowany, skórka nieco falista. Do ząbka (rys. 7-b) pod ostrym kątem wchodzi gałązka nerwu bocznego i rozgałęzia się w nim pędzelkowato.

Komórki skórki górnej prostolinijne (rys. 17-a) ze ściankami paciorkowato zgrubiałymi; średnia wielkość komórek 80  $\mu$  największa 112  $\mu$ .

Komórki skórki dolnej, silnie zatokowate, średniej wielkości 76  $\mu$ , największe 92  $\mu$ .

Szparki oddechowe występują na obu powierzchniach, liczniejsze są jednak na dolnej; 40  $\mu$  długie i 36  $\mu$  szerokie.

Owłosienie składa się z włosów ochronnych i gruczołowych.

Włosy ochronne przeważnie 4 — 7 komórkowe, o brodawkowanym naskórku i zakończeniu bardziej tępe. W zagłębieniach ząbków mieści się po kilka lub kilkanaście włosów małych gruczołowych z główką dwukomórkową na jednokomórkowej podstawie.

Trafiają się też nieliczne włosy wielokomórkowe z jednokomórkową główką. Nerw główny występuje listewkowato; ułożone półksiężycowo wiązki otoczone są zwarcicą; na dolnej powierzchni pod skórka także znajduje się zwarcica.

Ilość digitoksyny — 0,11%. Valor 0,97.

Wskutek dużego zapotrzebowania liści *dig. purpurea* zwrócono podczas wojny baczniejszą uwagę na dość pospolitą *dig. ambigua*.

W r. 1832 Martins pierwszy podniósł sprawę możliwej zamiany liści dig. purpurea liśćmi dig. ambigua. W 1888 r. badał dig. ambigua Paschkis<sup>1)</sup> i znalazł w niej te same glukozydy, co u dig. purpurea, a mianowicie digitoksynę, digitalinę, digitaleinę i digitoninę, ponadto kwas lotny i kwas chryzofanowy. Działanie farmakologiczne liści miało być identyczne z liśćmi dig. purpurea.

Ostatnio już w okresie wielkiej wojny badał digitalis ambigua Wasicky<sup>2)</sup> i jeszcze raz stwierdził, że liście te wykazują działanie identyczne z liśćmi dig. purpurea. Do badań używał Wasicky wyciągu spirytusowego różnych części tej rośliny, a same badania uskutečnił metodą Worth'a Hale w porządku podanym przez E. Weissa.<sup>3)</sup> Działanie liści porównał Wasicky z działaniem Cymaryny (z Apocynum Cannabinum), przyczem stwierdził, że liście działają 12 razy silniej od łodygi, a 10 razy silniej od korzenia.

Ilość digitoksyny w liściach określił Wasicky (metoda Fromme Keller) na 0,31%.

Oznaczenie ilości digitoksyny w dig. ambigua wykonał także Burman<sup>4)</sup>. Badał on liście dig. ambigua z Wallis, przyczem ilość digitoksyny w tych liściach wynosiła:

w r.	1907	—	0,134%
"	"	1908	— 0,120%
"	"	1909	— 0,067%
"	"	1910	— 0,069%

Małą ilość digitoksyny w dwóch ostatnich latach przypisuje Burman chłodom i deszczom.

Burman też zauważył, że dig. ambigua i dig. lutea nie zawierają wcale manganu.

Ponieważ mangan towarzyszy oksydazom, przypuszcza tenże autor, że działające składniki tych dwóch gatunków ulegają mniejszemu rozkładowi, niż u dig. purpurea podczas przechowywania surowca<sup>5)</sup>.

<sup>1)</sup> Paschkis. Pharmakologische Untersuchungen über Digit. Ambigua Murr. Medic. Jahrb. 84 (1888) str. 196.

<sup>2)</sup> Wasicky. Ueber Dig. Ambigua Murr. Zeitschrift des Allgem. Oesterr. Apotheker Vereines № 25 (1916) i Wiener Medicinische Wochenschrift 1916 № 10.

<sup>3)</sup> E. Weiss. Über den physiologischen Wirkungswert einiger Digitalis Präparate. Das Oester. Sanitätswesen XXIV № 12 — 1912 r.

<sup>4)</sup> I. Burman. Schweiz Wochenschrift fr. Chemie und Pharm. 1911 r. XLX 562 str.

<sup>5)</sup> Powyższego twierdzenia Burmana dotyczącego się dig. ambigua wogóle poprzeć nie mogę, ponieważ w liściach Dig. ambigua z Opoczyńskiego z całą pewnością wykryłem mangan.



Dig. ambigua i dig. lutea najczęściej zarastają suche wzgórza o wapiennem podłożu (lasy pod Olsztynem). Na możliwość domieszki liści tych dwóch gatunków do liści dig. purpurea wskazuje już Flückiger (Pharmakognosia str. 485). Naturalnie o ile mamy do czynienia z liśćmi całymi, to rozpoznać je bardzo łatwo, inaczej jednak rzecz się ma z proszkami. Nad porównaniem cech anatomicznych liści dig. purpur, dig. ambigua i dig. lutea i wykrywaniem domieszek liści dig. amb. i dig. lutea w proszkowanych liściach dig. purpurea pracowali C. Hartwich i P. Bohny<sup>1)</sup>. Dane te zestawione z memi własnymi badaniami podałem w porównawczej tablicy № IV.

**Tablica № III.**

	Dig. ferruginea.	Dig. lanata.	Dig. ambigua, własne.
Ilość digitoksyny.	0,27	0,21	0,11
Valor.	1, 4	nie oznaczono.	0,97

Rozejrzawszy się w tablicy IV widzimy, że liście czterech badanych gatunków znacznie się pomiędzy sobą różnią. Odmiany gatunków purpurea kształtem i wyglądem swoich blaszek odbiegają znacznie od trzech przytoczonych gatunków. Z trzech zaś tych gatunków blaszka dig. ferruginea o barwie ciemno zielonej wyróżnia się swoją grubością, i najbardziej zbliża się do blaszki dig. lanatae, o niebieskawem odcieniu, zwężającej się u nasady. Brzeg blaszki liściowej i każdego z gatunków jest inny; dig. ferruginea lanata i lutea mają brzeg falisty: cecha ta najwybitniej występuje u lanata i najslabiej jest wyrażona u dig. ferruginea. Owłosienie u dig. lutea, ferruginea i lanata jest bardzo słabe, przyczem włosy gruczołowe spotyka się bardzo rzadko. Włosy ochronne najdłuższe są u dig. lanata, ze słabo wyrażoną brodawkowatością, co także jest jedną z cech włosów dig. ferruginea, podczas gdy dig. purpurea i ambigua mają włosy wyraźnie brodawkowane.

<sup>1)</sup> C. Hartwich i P. Bohny. Beiträge zur Kenntnis des Digitalisblattes und seiner Verfälschungen.

## T a b l i

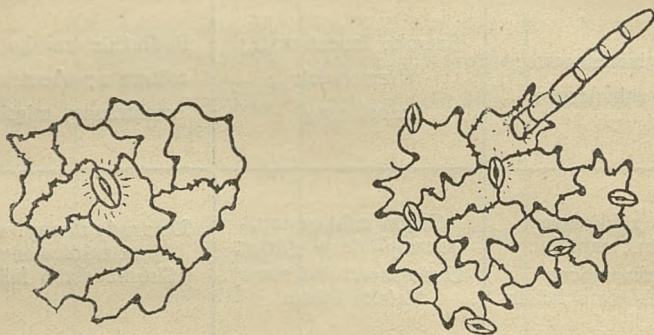
	DIG. PURPUREA	DIG. AMBIGUA HARTWICH	DIG. AMBIGUA WŁASNE BADANIE
Kształt liścia	Podłużnie jajowaty; ogonek skrzydlaty. W różyczce ogonek często czerwono- fioletowy	Wązko lancetowate, ostro zakończone	Wązko lancetowate, ostro zakończone
Brzeg blaszki liścia	Nieprawidłowo podwójnie karbowano ząbkowany	Żąbkowany. Skórka nie falista.	Żąbkowany. Skórka nieco falista.
Owłosienie	Obfite	Nerwy i brzeg blaszki owłosiony.	Nerwy i brzeg blaszki obficie owłosiony.
Rodzaj owłosienia	Włosy ochronne przeważnie 4 komórek. Włosy główkowate 2 typów	Włosy ochronne 4-6 komórek. silnie brodawkowane; Włosy główkowate 2 typów; główka zwykle 2-4 komór- kowa	Włosy ochronne 4-7 komórek. brodawk. Włosy główkowate 2 typów liczniejsze (zagłębienia żąbków) z krótką podst. i 1-2 kom. główką.
Skórka górna	Komórki prostolinij- no wieloboczne lub nieco zatokowate. Sred. wielk. kom. 56 $\mu$ Najw. „ „ 80 $\mu$	Komórki przeważnie zatokowate, ścianki paciorkowato zgru- białe. Sred. wielk. kom. 85 $\mu$ Najw. „ „ 120 $\mu$	Prostolinijnie wielo- boczne ze ścianka- mi porowato zgru- białymi. Sred. wielk. kom. 80 $\mu$ Najw. „ „ 112 $\mu$
Skórka dolna	Komórki zatokowate. Sred. wielk. kom. 75 $\mu$ Najw. „ „ 92 $\mu$	Komórki zato- kowate Sred. wielk. kom. 78 $\mu$ Najw. „ „ 93 $\mu$	Zatokowate Sred. wielk. kom. 76 $\mu$ Najw. „ „ 92 $\mu$
Szparki oddechowe	Długie 30 $\mu$ Szerokie 23 $\mu$	Długie 40 $\mu$ Szerokie 30 $\mu$	Długie 40 $\mu$ Szerokie 36 $\mu$



## c a № IV.

DIG. LUTEA HARTWICH	DIG. LANATA	DIG. FERRUGINEA
Wązko lancetowate; ostro zakończone.	Szeroko lancetowate; Wierzchołek zaostrozony	Podłużnie szeroko lan- cetowata; wierzchołek zaostrozony, mięsisty
Słabo ząbkowany lub bez ząbków. Skórka mocno wyrostkowato falista	Grubo ząbkowany, szczególnie w górze; U starszych liści równy. Skórka falista	U nasady równy, w gó- rze ząbkowany, Skórka słabo falista.
Prawie nagie	U nasady obfite, na brzegach blaszki słabe owłosienie	Młode liście obficie owło- sione u nasady i na brzegach Starsze słabo owłosione
Włosy ochronne 3-4 kom.na wierzchołku tępe, słabo brodaw- kowane. Włosy główkowate tylko z krótką nóżką i 1-2 kom. główką	Włosy ochronne 8 10-11 komórkowe słabo brodawkowane. Włosy główkowate 2 typów, rzadkie	Włosy ochronne 5-7 komórkowe; naskórek słabo brodawkowany. Włosy główkowate 2 typów, rzadkie.
Prostolinijnie wielo- boczne ze ściankami zgrubiałymi lub zato- kowate bez zgrubień. Sred. wielk. kom. 91 $\mu$ Najw. „ „ 128 $\mu$	Prostolinijnie wielo- boczne; ścianki paciorko- wato zgrubiałe Sredn. wielk. kom. 72 $\mu$ Najw. „ „ 100 $\mu$	Prostolinijnie wieloboczne ścianki paciorkowato- zgrubiałe Sredn. wielk. kom. 64 $\mu$ Najw. „ „ 96 $\mu$
Zatokowate. Sred. wielk. kom. 96 $\mu$ Najw. „ „ 125 $\mu$	Prostolinijnie zatokowate; ścianki zgrubiałe na zakrętach. Sred. wielk. kom. 68 $\mu$ Najw. „ „ 96 $\mu$	Zatokowate; ścianki zgrubiałe. Sred. wielk. kom. 68 $\mu$ Najw. „ „ 96 $\mu$
Długie 40 $\mu$ Szerokie 33 $\mu$	Długie 36 $\mu$ Szerokie 24 $\mu$	Długie 36 Szerokie 26

*Dig. lutea* ma największe komórki skórki górnej i dolnej powierzchni, *dig. purpurea* zaś wyróżnia się brakiem paciorkowatego zgrubienia ścianek i mniejszą tychże ścianek grubością. Wielkość komórek skórki dolnej powierzchni jest mniej więcej równa; różnica polega na paciorkowatym zgrubieniu ścianek. Liście *ambigua* mają największe szparki oddechowe, w reszcie gatunków prawie równe.



a.

Rys. 18.

b.

- a. Skórka górnej powierzchni blaszki liściowej *Dig. lutea*.  
 b. Skórka dolnej powierzchni blaszki liściowej *Dig. lutea*.

Jak wiadomo proszek liści naparstnicy purpurowej charakteryzuje się obecnością włosów: 3 – 5 komórkowych włosów z brodawkową powierzchnią, niektóre komórki tych włosów są spadłe; niektóre włosy są główkowate. Trafiają się też wysoce znamienne dla naparstnicy małe włosy gruczołowe o podstawie jednokomórkowej z główką złożoną z dwóch kulistych komórek, obok siebie pionowo do podstawy ułożonych. Niestety takie włosy spotykamy i u rasy białej i *monstrosa*, a także *maculata* i *lilacina* i rozeznać te rasy i formy w proszku wydaje się rzeczą bardzo trudną; działanie jednak właściwe na serce wszystkie liście te wykazują.

Co się tyczy specjalnych składników naparstnicy żółtej (*dig. lutea*), zaznaczyć należy, że P. Adrjan i A. Trillat<sup>1)</sup> wydzielili z liści ciało krystaliczne, według nich barwik naparstnicy. Ciało to w postaci jedwabistych kryształów jest nierozpuszczalne w wodzie i rozcieńczonych kwasach mineralnych, w wysoku zaś i chloroformie rozpuszcza się z łatwością. Alkohol rozpuszcza je barwiąc się na kolor czerwony.

<sup>1)</sup> P. Adrjan i A. Trillat, *Compte Rendu*.



W roku 1916 wprowadzono na rynek amerykański naparstnicę hiszpańską mało podobną do oficynalnej, a zbliżoną bardziej do *Verbascum*. Sądząc z cech anatomicznych, Farvell doszedł do przekonania, że ma do czynienia z pokrewnym gatunkiem naparstnicy, a mianowicie *Dig. Thapsi L.*

Pod względem farmakologicznym badał ją Hamilton i doszedł do przekonania, że surowiec ten w działaniu jest bardzo zbliżony do *dig. purpurea*, różni się jednak pod pewnemi względami, przypominając działanie *Strofantusa*. Farmakologiczne działanie tych liści było 3 razy silniejsze od działania naparstnicy purpurowej.

### Wyniki pracy

W pracy „Naparstnica — studjum porównawcze pod względem anatomicznym i chemicznym” przedmiotem badań były następujące gatunki, odmiany, rasy i formy naparstnicy: *Digitalis purpurea*, *dig. purp. floro albo*, *dig. purpurea monstrosa*, *dig. gloximiflora lilacina*, *dig. maculata superba purpurea*, *dig. maculata superba purpurea*, *dig. maculata superba floro albo*, *dig. ferruginea*, *dig. lanata*, częściowo zaś *dig. ambigua* i *dig. lutea*.

1) Wygląd zewnętrzny liści u różnych gatunków jak *dig. purpurea*, *dig. ambigua*, *dig. ferruginea*, *dig. lanata* jest rozmaity. Różnice te w odmianach i rasach zacierają się, jak to ma miejsce u *dig. purpurea*, *dig. purp. floro albo*, *dig. purp. monstrosa*, *dig. maculata* i *dig. gloxiniiflora*. Również liście w gatunkach *dig. ambigua* i *dig. lutea* są z wyglądu do siebie zbliżone. Kształt liści *dig. ferruginea* i *dig. lanata* jest dość zbliżony, natomiast brzeg blaszki, barwa i mięsistość wyróżniają liście *dig. ferruginea* dość wyraźnie od liści *dig. lanata*.

2) Z cech anatomicznych najwybitniejszą stanowi zakończenie nerwów w ząbkach blaszki i kształt brzegu blaszki liściowej. U odmian i ras *dig. purpurea* nerwy wstępują w ząbek prostopadle i tu kończą się pędzelkowato, przyczem w tym miejscu łącząc się z dwoma bocznymi nerwami formują trójkąt, którego brak innym gatunkom. Dla innych gatunków charakterystycznym jest pochyłe ułożenie końców nerwów w ząbkach. Znaczna falistość komórek skórki *dig. lutea* i *dig. lanata* wyróżnia je dość znacznie od *dig. ambigua* i *dig. ferruginea*, których falistość jest słabą. Zaś odmiany

i rasy *purpurea* odznaczają się zupełnym brakiem falistości w komórkach skórki.

3) Odmiany i rasy *naparstnicy* z kwiatami białymi wyróżniają się od *naparstnic* z kwiatami czerwonymi kształtem ząbka blaszki liścia, który u odmian i ras białych jest płaskim. *Dig. gloxiniiflora* pod tym względem zbliża się do *naparstnic* białych. Rasa *gloxiniiflora lilacina* ma też największe komórki skórki górnej. Budowa nerwu głównego u wszystkich gatunków jest jednakową, różnica polega na różnym kształcie nerwu na przekroju poprzecznym. *Dig. lanata* i *lutea* wyróżniają się słabem owłosieniem, lecz włosy *dig. lanata* są najdłuższe, bo aż 8—10—11 komórkowe, a brodawkowatość jest wyrażoną słabo; włosy *dig. lutea* są także mało brodawkowate 4—6 komórkowe, lecz brak jest zupełny włosów gruczołowatych na długiej kilkokomórkowej nóżce. Również słabem owłosieniem odznacza się liść *dig. ferruginea*. W przeciwieństwie do powyższych *naparstnic* liście *dig. purpurea* i *dig. ambigua* posiadają obfite owłosienie. U *dig. purpurea* i *ambigua* włosy mają naskórek gruby i brodawkowany. Włosy u *dig. purpurea* przeważają 4 komórkowe, u *monstrosa* mają końce bardziej ostre, zaś u *ambigua* przeważają 5 komórkowe, co spotykamy także u rasy *gloxiniiflora*. Największe komórki skórki posiada *dig. lutea* i *gloxiniiflora lilacina*. *Dig. lutea* ma też największe szparki oddechowe; gatunek zaś *purpurea* ma najmniej paciorkowato zgrubiałe ścianki komórek, co znów u gatunku *ferruginea* występuje najwyraźniej.

4) Gatunek utrzymuje budowę anatomiczną w rasach i formach oprócz ząbków. Poszczególne gatunki wykazują pewne, aczkolwiek niewyraźnie zaznaczone, różnice w budowie anatomicznej liści.

Gatunek *dig. purpurea* utrzymuje niezmienną budowę anatomiczną liści we wszystkich badanych rasach i formach ogrodowych, powstałych — jak należy przypuszczać — na drodze selekcji w kulturze ogrodowej z *naparstnicy* purpurowej: rasy te i formy, jakkolwiek odbiegają od pnia macierzystego pod względem morfologicznym, jak to wzrostem łodygi, wielkością, kształtem oraz zabarwieniem kwiatów, to jednak poza rozmaicie upostaciowanym chrząstkowatym ząbkem (zależnie od środowiska) — żadnych innych różnic w budowie anatomicznej liści nie wykazują.

5) Ilość digitoksyny w różnych gatunkach, jak to *dig. ferruginea*, *dig. purpurea*, *dig. lanata* jest zbliżoną, natomiast w rasach



i formach ogrodowych jak u *dig. purpurea monstrosa*, *dig. maculata fl. albo*, *dig. gloxiniiflora* lilacina pochodzących od gatunku *dig. purpurea* jest niemal dwa razy mniejszą, aniżeli w samym gatunku, przyczem — rzecz ciekawa, że takie rasy i formy ogrodowe, jak *dig. maculata purpurea* i *dig. purpurea floro albo* raczej zbliżają się pod względem ilości digitoksyny do macierzystego gatunku — *dig. purpurea*. Zbyt mała ilość digitoksyny w gatunku *Dig. ambigua* określona w innym roku i w innych gatunkach nie może być brana pod uwagę, natomiast ilość digitoksyny (według Kellera) w *dig. ambigua* określona przez Wasickiego (0,31%) li tylko popiera mój wniosek, że ilość digitoksyny w odrębnych gatunkach jest zbliżoną.

Ilość krystalicznej digitoksyny w liściach — jak się zdaje — nie stoi w związku do stosunkowo mało zmiennej ich budowy anatomicznej: pojedyncze gatunki o pewnych, aczkolwiek niewyraźnie zaznaczonych, różnicach w budowie liści, zawierają zbliżoną ilość digitoksyny, natomiast niemal jednakowo zbudowane liście ras i form ogrodowych naparstnicy purpurowej wykazują silne wahanie się w ilości digitoksyny, bądź to zbliżając się, bądź to oddalając się od gatunku macierzystego. Fakty powyższe nasuwają ogólniejsze przypuszczenie, że zmiany w biochemicznych procesach liści naparstnicy odbywają się niezależnie od ich budowy anatomicznej i że w sprawie hodowli naparstnicy jesteśmy raczej na drodze do wytwarzania osobników o różnych procesach biochemicznych (odmian fizjologicznych), aniżeli osobników o zmienionej od środowiska lub przez krzyżowanie budowie anatomicznej.

6) Liście naparstnic zawierają digitoksynę w ilościach zmiennych, choć zbliżonych. Według moich badań ilość digitoksyny krystalicznej w liściach nie stoi w żadnym stosunku do siły działania liści. Pod tym względem pogląd ten jest zgodny z wynikiem badań Tschircha.

7) Swoiste działanie na serce, właściwe *dig. purpurea*, wykazują wszystkie badane naparstnice, tak gatunki, jak rasy i formy ogrodowe, przyczem najsilniej występuje to działanie po użyciu liści gatunku *dig. ferruginea*.

---

Spełniając miły dla mnie obowiązek, wyrażam na tem miejscu podziękowanie Wielce Szanownemu Panu Profesorowi Władysławowi

sławowi Mazurkiewiczowi za danie możności wykonania niniejszej pracy, za szczere zainteresowanie się i za cenne uwagi podczas jej wykonania.

Szanownej Pani Gertrudzie Dobrowolskiej składam podziękowanie za trud przy wykonaniu pięknych barwnych tablic do tej pracy.

## R e s u m é

Le sujet de mes recherches sont les feuilles de différentes espèces, variétés, races et formes de jardin de la digitale, telles que : *Digitalis purpurea*, dig. purp. floro albo, dig. *purpurea monstrosa*, dig. *gloxiniiflora lilacina*, dig. *maculata superba purpurea*, dig. *maculata superba floro albo*, dig. *ferruginea*, dig. *lanata*, dig. *ambigua* et dig. *lutea*.

1) Au point de vue morphologique les feuilles de certaines espèces telles que : dig. *purpurea*, dig. *ambigua*, *ferruginea*, *lanata* et *lutea* présentent des différences; celles de la dig. *ambigua* se rapprochent à la dig. *lutea*, — celles de la dig. *ferruginea* à la dig. *lanata*. Les feuilles des variétés et races, qui semblent provenir de dig. *purpurea*, telles que dig. *purpurea floro albo*, dig. *purpurea monstrosa*, dig. *purpurea maculata* et dig. *gloxiniiflora* ne present pas de differences morphologiques sauf des dentelures formées par la cuticule épaissie, qui est le trait caracteristique de la famille; les dentelures des variétés et des races blanches, ainsi que de la dig. *gloxiniiflora lilacina* sont aplaties.

2) Au point de vue anatomique ces différentes espèces présentent certaines particularités de structure, d'ailleurs peu prononcées. Chez la dig. *purpurea* le nerf pénètre en ligne droite dans la petite dent et non sous un angle comme chez d'autres espèces. En outre chez la dig. *purpurea* le nerf en question est terminé en pinceau et à l'aide de deux nerfs latéraux il forme un triangle caractéristique, qu'on n'observe pas chez d'autres espèces.

L'ondulation des parois cellulaires de la cuticule est la plus prononcée chez la dig. *lutea* et *lanata*, moins chez la dig. *purpurea*.

La structure du nerf est partout la même, ce n'est que sa section perpendiculaire qui diffère.

Les dig *purpurea* et *ambigua* sont les plus velues. Les dig. *lanata*, *lutea* et *ferruginea* le sont bien moins; les plus longs poils formés de 8 à 11 cellules se trouvent chez dig. *lanata*, plus courts



de 4 à 6 cellules, chez la dig. lutea; les poils de la dig. ambigua sont le plus souvent formés de 5 cellules et ceux de la dig. purpurea de 4. La verrucosité de la cuticule des poils est très prononcée chez la dig. purpurea et ambigua, moins chez la dig. lanata et lutea. Les plus grandes cellules de la cuticule et stomates se présentent chez la dig. lutea; les plus fortes bosselures des parois cellulaires de l'épiderme se trouvent chez la dig. purpurea.

Les races et les formes provenant de la dig. purpurea ne présentent presque pas de différences dans leur structure par rapport à leur espèce—mère.

3) La quantité de la digitoxine cristallisée, obtenue par la méthode de Keller des feuilles de différentes espèces, telles que dig. ferruginea, purpurea, lanata et ambigua, varie peu (0,3% environ); la quantité de digitoxine, contenue dans les feuilles de races et variétés provenant de dig. purpurea, varie considérablement. Elle est presque deux fois plus petite, que chez l'espèce-mère. La quantité de la digitoxine cristallisée n'est pas en rapport avec l'intensité de l'action pharmacologique des feuilles déterminée par la méthode de Focke.

4) En se basant sur ce qui précède nous constatons que la quantité de la digitoxine contenue dans les feuilles dépend de la culture et non de la structure peu modifiée de différentes espèces et races cultivées dans les jardins.

---

(Z pracowni chemicznej Państwowego Instytutu farmaceutycznego).

### **Oznaczanie arsenu w pochodnych arsenobenzolu**

(Sur le dosage d'arsène au moyen de l'eau oxygénée dans les dérivés d'arsenobenzol).

*D-r M. Ruszkowski.*

Większość praktycznych metod oznaczania arsenu w salwaranie i jego pochodnych oparta jest na jodometrii; z pośród nich jedne polegają na mianowaniu arsenu pośrednio po spaleniu substancji organicznej, inne opierają się na uprzedniej destylacji chloru arsenawego, i oznaczaniu arsenu w destylacie.

Niewątpliwie pierwsze z tych metod są bardziej ekonomiczne pod względem zużytego materiału i czasu, i dlatego najczęściej stosowane bywają; szczególnie dotyczy to modyfikacji, opracowa-

nej przez Lehmana <sup>1)</sup>. Lecz każdemu, kto się metodą tą posługiwał, znane są trudności, jakie napotyka się podczas jej wykonywania; zwłaszcza niedogodną jest okoliczność, że po spaleniu substancji za pomocą nadmanganianu potasowego i kwasu siarkowego otrzymuje się często płyn mniej lub więcej zabarwiony na żółto, a ponieważ w danym przypadku niemożna posługiwać się roztworem krochmalu, więc miareczkowanie arsenu jest bardzo utrudnione.

W celu opracowania szybkiej i łatwej metody, oznaczania arsenu w pochodnych arsenobenzolu, wypróbowałem rozmaite sposoby spalania organicznych związków, tak za pomocą podwyższonej temperatury, jak i przy pomocy środków utleniających. Po szeregu prób ustaliłem, że przez zastosowanie do spalania 30% wody utlenionej (perhydrolu) spalanie nie trwa nigdy dłużej jak 2–3 minuty i zawsze otrzymuje się roztwór absolutnie bezbarwny. Fakt ten umożliwia bardzo dokładne oznaczanie arsenu szybko i bez żadnych trudności.

Oznaczanie wykonywa się w następujący sposób: 0,3 g neosalvarsanu i 20 cm<sup>3</sup> stężonego kwasu siarkowego umieszcza się w małej kolbce o pojemności 50 cm<sup>3</sup> i stawia na kąpieli wodnej na 1/2 godziny, do chwili otrzymania klarownego roztworu. Do gorącej jeszcze mieszaniny dodaje się kroplami, mieszając ustawicznie kolbką, perhydrol aż do zupełnego odbarwienia się płynu; mieszanina zagrzewa się przy tej operacji mocno i płyn się zazwyczaj odbarwia najdalej po upływie 2 minut.

Ilość perhydrolu użyta do zupełnego utlenienia 0,3 g neosalvarsanu lub podobnej substancji nie przekracza 1,5 cm<sup>3</sup>.

Otrzymamy bezbarwny roztwór przelewa się do 1/2 L kolby, dodaje jeszcze 10 cm<sup>3</sup> kwasu siarkowego i 150 cm<sup>3</sup> wody, następnie zabarwia się mieszaninę paru kroplami roztworu nadmanganianu i gotuje na wolnym ogniu 20 minut, bacząc by płyn stale był zabarwiony w fioletowo; jeżeli płyn się odbarwi, należy dodać jeszcze kilka kropel nadmanganianu. Następnie należy mieszaninę odbarwić możliwie małą ilością kwasu szczawiowego, ostudzić do 10°, dodać 3,0 jodku potasu, zakorkować szczelnie i postawić na godzinę w chłodnym miejscu. Po godzinie mianuje się wydzielony jod 1/10 norm. roztworem tiosiarczanu, bez posiłkowania się krochmalem jako wskaźnikiem, i wylicza arsen według znanego wzoru.

<sup>1)</sup> Ap. Ztg. 27. (z r. 1912); Arch. d. Pharm. 250, 382 (1912 r.)



Ponieważ jodek potasu rozkłada się w rozcieńczonych kwasach i bez obecności arsenu, i rozkład ten następuje tym prędzej, im bardziej podniesiona jest temperatura, najlepiej jest wykonywać podaną reakcję w temperaturze nie przekraczającej 10°; również należy wykonać t. zw. ślepą próbę i znaleźć ilość jodu odjąć od rezultatu otrzymanego przy próbie z arsenem.

### R e s u m é

Le dosage d'arsène dans les dérivés d'arsenobenzol par la méthode jodométrique peut être effectué rapidement et exactement, si on emploie pour détruire la substance organique—l'eau oxygénée concentrée (30%). En ajoutant le jodure de potassium il ne faut pas dépasser une température de 10°.

### REFERATY Z CZASOPISM OBCYCH

**Nowy odczyn na kwas salicylowy.** Jeżeli zmieszać kryształ kwasu salicylowego z kroplą kwasu azotowego, (c. wł. 1,4), to niebawem wydzielać się zaczyna dwutlenek azotu, i substancja się sama zagrzewa. Po pewnym czasie reakcja słabnie i wydzielają się tylko kropelki bezbarwnego gazu. Po zupełnem ostudzeniu wydzielają się cytrynowo żółte małe kryształki, rozpuszczalne w wodzie, alkoholu i eterze z żółtym zabarwieniem; po dodaniu do tego roztworu 1% roztworu chlorku żelazowego zabarwia się płyn na ciemno czerwono; dodanie alkaliu nadaje mieszaninie odcień pomarańczowy; kwasy przywracają jej znowu kolor cytrynowy.

(Zeit. für anal. Chem. 1921, 53) *Dr. M. Ruszkowski.*

**Nowy sposób oznaczania kwasu szczawiowego.** Metoda ta polega na rozkładaniu kwasu szczawiowego na dwutlenek i tlenek węgla podług wzoru  $C_2 H_2 O_4 \rightarrow CO + CO_2 + H_2 O$ . Do rozłożenia tego nie używa się, jak w innych metodach, stężonego kwasu siarkowego, lecz bezwodnika kwasu octowego.

Godną uwagi jest niezmierna łatwość, z jaką odbywa się ten rozkład, i ilościowy przebieg reakcji.

Do wykonania próby bierze się na jedną część kwasu szczawiowego 20 części bezwodnika. Wydzielanie gazów rozpoczyna się już w temperaturze nieco wyższej od pokojowej, w 50° reakcja odbywa się bardzo żywo, a w 100° gwałtownie. Przez utrzymywanie kółki z mieszaniną przez parę minut na kąpieli wodnej kwas szczawiowy jest w zupełności rozłożony.

W temperaturze do  $100^{\circ}$  tylko kwas szczawiowy i mrówkowy, (ostatni znacznie wolniej), ulegają rozkładowi; kwasy: mlekowy, malonowy, bursztynowy, jabłkowy, winowy i cytrynowy pozostają w tych warunkach nienaruszone.

W nieobecności więc kwasu mrówkowego może być ta reakcja zastosowaną z powodzeniem i przy jakościowym oznaczaniu kwasu szczawiowego.

Pamiętać należy, że w odróżnieniu od bezwodnika octowego kwas siarkowy w tych samych warunkach wydziela dwutlenek węgla ze wszystkich wymienionych powyżej kwasów organicznych, i z całego szeregu innych substancji.

(Hugo Krause, Ber. Deutsch. Chem. Ges. 52, 426). *Dr. M. Ruszkowski.*

**Oznaczanie atropiny i kokainy w maściach.** H. J. Foster stwierdził, że stosowany zazwyczaj sposób oznaczania atropiny i kokainy w maściach jest niedokładny, natomiast następująca metoda daje zupełnie dobre rezultaty: 2 g maści rozpuszcza się w  $10\text{ cm}^3$  chloroformu, roztwór wlewa do rozdzielacza, pozostałość zmywa chloroformem i wytrząsa  $20\text{ cm}^3$  N/20 kwasu siarkowego. Kwaśny roztwór zlewa się, chloroform jeszcze dwa razy wyklucza  $10\text{ cm}^3$  wody destylowanej, którą dodaje się do głównego roztworu, wreszcie roztwór ten mianuje N/20 ługiem potasowym z bromofenolowym błękitem, jako wskaźnikiem. Odejmując liczbę zużytych  $\text{cm}^3$  ługu potasowego od  $20\text{ cm}^3$  kwasu i mnożąc różnicę przez 0,01446 i 50, otrzymujemy procentową zawartość atropiny w badanej maści. W razie kokainy, różnicę należy pomnożyć przez 0,01516 i 50.

(Pharm. Journ. 106, 479). *St. Kosmalski.*

**Wykrywanie nitrobenzolu w oleju gorzkich migdałów.** Do zupełnie suchej menzurki o pojemności  $100\text{ cm}^3$  wlewa się  $10\text{ cm}^3$  formaliny (40%) i  $20\text{ cm}^3$  mocnego amoniaku, zatyka korkiem gumowym, ostrożnie miesza i pozostawia w spokoju w ciągu 5 minut. Następnie dodaje się  $10\text{ cm}^3$  oleju, silnie wstrząsa i pozwala odstać. Aldehyd benzoesowy z mieszaniną amoniaku z formaliną wytwarza rodzaj emulsji, nitrobenzol zaś zupełnie klarowny zbiera się na dnie i bezpośrednio może być odmierzony.

Dla skonstatowania tożsamości nitrobenzolu wierzchni mętny płyn zlewa się, bierze się 10 kropli nitrobenzolu i w epruwetce redukuje na anilinę, dodając  $5\text{ cm}^3$  kwasu solnego i ziarnko cynku. Otrzymana w ten sposób anilina winna dać znane odczyny, np. przy



ostrożnem dodaniu do  $1\text{ cm}^3$  mieszaniny  $10\text{ cm}^3$  skoncentrowanego kwasu siarkowego i  $2\text{ cm}^3$  10%-go dwuchromianu potasowego w miejscu zetknięcia się płynów winno występować zielone, a następnie błękitne zabarwienie, przy zmieszaniu zaś powinien się zabarwić wszystek płyn.

(Drogenh. 20, 383). *St. Kosmalski.*

**Początki, rozwój i wartość odczynu talleiochinowego.** Do wykonania odczynu talleiochinowego zaleca Hart wodę bromową, zaznacza jednak, że nadmiar bromu i zbyt długie jego działanie nie są korzystne; najlepsze warunki doświadczenia stwarzają 6 atomów bromu; z roztworem chininy 1 : 1000 do 1 : 20000 odczyn zaczyna się przy 0,75 atomu Br na 1 cząsteczkę chininy; od  $\frac{1}{40000}$  do  $\frac{1}{80000}$  — przy 1,5 do 2,25 atomów bromu; roztwór zawierający  $\frac{1}{120000}$  wymaga 3 atomów bromu, a roztwór  $\frac{1}{200000}$  — 6 atomów. Można oznaczać chininę, dodając wodę bromową w nadmiarze i po 5 minut. działania, mianując nadmiar bromu za pomocą  $\text{Na}_2\text{S}_2\text{O}_3$ , w obecności KI.

$$1\text{ cm}^3 \frac{n}{10} \text{ Br} = 0,0081\text{ g chininy.}$$

(B. Hart, J. Soc. Chemical Ind., 72, 1921). *Święcki.*

**Wykrywanie kwasu mlekowego.** H. i S. stwierdzają, że kwasy mrówkowy, octowy, jabłkowy, cytrynowy, winowy, będzwinowy, salicylowy, galusowy i garbnikowy, nie dają odczynu Denigès'a i nie maskują odczynu z kwasem mlekowym. Ponieważ kwas mlekowy jest używany zamiast winowego lub cytrynowego do proszków, stosowanych w piekarniach, należy wykonywać próbę Denigès'a z wyciągiem eterowym, otrzymywanym przez ekstrakowanie w aparacie Soxleta mieszaniny proszku z wodą zakwaszoną  $\text{H}^3\text{PO}_4$ . Wyciąg odparowuje się, rozcieńcza do zawartości 0,2% kwasu i poddaje próbie Denigès'a.

(S. Hartwig i R. Saar, Chem. Zeit. 1921, 322). *Święcki.*

**Purpuran cynku, odczynnik strącający jon rtęciowy.** Odczynnik alloksanowy ( $2\text{ g}$  kwasu moczowego +  $2\text{ cm}^3\text{ HNO}_3$  +  $\text{H}_2\text{O}$  do  $100\text{ cm}^3$ ) zagotowany z małą ilością cynku przybiera zabarwienie czerwono-pomarańczowe wskutek powstania purpuranu cynkowego; i ten związek daje z solami rtęciowymi osad o żywej barwie „kwiatu brzoskwini“, o barwie charakterystycznej dla jonu rtęciowego. Jon rtęciowy winien znajdować się w roztworze obojętnym; jeżeli roztwór jest kwaśny, należy go zalkalizować lekko za pomocą NaOH, następnie rozpuścić osad  $\text{HgO}$  w małej ilości  $\text{C}_2\text{H}_4\text{O}_2$ . Z małymi ilościami

Hg ( $0,4 \text{ mg}$  na  $1 \text{ cm}^3$  roztworu) otrzymuje się zabarw. karminowe; przez dodanie  $\text{C}_2 \text{H}_3 \text{NaO}_2$  osiąga się zbitcie osadu.

(G. Denigés, Bull. Soc. de Pharm. de Bordeaux 1921, 3). *Święcki*.

**Uwagi nad trwałością roztworu tiosiarczanu.** I. M. Kolthoff wykonał cały szereg badań nad jodometrią i w sprawie trwałości roztworu tiosiarczanu, doszedł do następujących wniosków:

1) Roztwór tiosiarczanu przechowuje się najlepiej w zakorkowanych naczyniach, w miejscu zacienionem.

2) Rozkład  $\frac{1}{100}$  normal. roztworu zachodzi szybciej, jak  $\frac{1}{10}$  normalnego roztworu.

3) Dodatek  $\text{HgI}_2$  w ilości  $0,1 \text{ g}$  na litr płynu powstrzymuje rozkładanie się, lecz mu w zupełności nie zapobiega.

4) Obecność w roztworze soli metalów ciężkich wpływa na niego rozmaicie; sole srebra zachowują się niejednolicie: czasami wywierają one silny wpływ lub też pozostają bez skutku; sole miedzi na roztwór  $0,1$  normalny wywierają mały wpływ, lecz silnie rozkładają  $\frac{1}{100}$  normalny roztwór.

Dodatek  $0,2 \text{ g}$   $\text{Na}_2 \text{CO}_3$  powstrzymuje psucie się roztworu tiosiarczanu niemal w zupełności.

(Pharm. Weekbl. 1920 r.). *Dr. M. Ruszkowski*.

**Studjum nad poleconą przez Farmakopeę Amerykańską metodą analizy kwasu fosforowego i rozpuszczalnych fosforanów.** Metoda oznaczania kwasu fosforowego i fosforanów kwaśnych, stosowana przez farmakopeę ameryk. polega na zamianie kwasu fosforowego na jego sól dwusodową za pomocą roztworu sody w obecności fenoloftaleiny, jako wskaźnika; następnie strąca się fosforan dwusodowy, nadmiarem mianowanego roztworu azotanu srebra, pod postacią:  $\text{Ag}_3 \text{PO}_4$ ; dodaje się tlenku cynkowego aż do otrzymania obojętnego odczynu na lakmus i mianuje nadmiar azotanu srebra. Metoda ta nie daje dokładnych rezultatów, za wyjątkiem wypadków, gdy stężenie kw. fosforowego albo fosforanów wynosi  $6,2 \text{ mg}$  na  $\text{cm}^3$ ; omyłki wahają się od 3% do 8% (przy wzroście koncentracji ponad  $6,2 \text{ mg}$  do  $11 \text{ mg}$ ); niedokładności te zawdzięcza się prawdopodobnie powstawaniu kwaśnych fosforanów srebra, nieco rozpuszczalnych. Ilość tych ostatnich zmienia się w tym samym stosunku, jak stężenie fosforanów w roztworze i w odwrotnym do nadmiaru dodanego azotanu srebra.

Dokładne rezultaty, otrzymywane, gdy stężenie fosforanów lub kw. fosforowego wynosi  $6,2 \text{ mg}$  na  $\text{cm}^3$ , zawdzięcza się prawdopodobnie przypadkowej kompensacji błędów przy tem stężeniu. Modyfi-



kując powyższą metodę w ten sposób, żeby przed rozpoczęciem właściwego oznaczania zamienić kw. fosforowy i fosforany kwaśne na trójsodowe, otrzymuje się rezultaty równie dokładne jak metodą pyrofosforanów, przytem zupełnie niezależnie od stężenia fosforanów.

(A. E. Stearn, H. V. Farr i N. P. Knowlton,  
J. Industr. Engin. Chem. 13, 220). *Święcki*.

**Stwierdzanie obecności aldehydu mrówkowego za pomocą rezorcyny i kwasu siarkowego.** Reakcja polega na dodaniu do badanej substancji ok. 2  $cm^3$  wodnego 0,1% roztworu rezorcyny i ostrożnem dolaniu do otrzymanego roztworu stężonego kwasu siarkowego, tak żeby się uformowały dwie warstwy. Na granicy tych warstw tworzy się w obecności aldehydu mrówkowego pierścień z gęstych białych nierozpuszczalnych w wodzie kłaczków, w pośrodku zaś pierścienia widać fioletowo-czerwoną warstwę. Odczyn ten wykrywa aldehyd mrówkowy w roztworze 1:100.000.

Odczyn ten nadaje się również do wykrycia metylowego alkoholu, który trzeba uprzednio utlenić. W tych wypadkach, gdy za pomocą reakcji morfinowej alkohol metylowy rzekomo wykryty został, należałoby zastosować reakcję z rezorcyną jako kontrolującą, gdyż otrzymanie fioletowego pierścienia z morfiną zdarza się niejednokrotnie tam, gdzie obecność alkoholu metylowego zupełnie jest wykluczona.

(R. Cohn, Ber. d. deut. pharm. Gesel. 1921 r., grudzień). *Dr. Garczyńska*.

**Farmakologiczne oznaczanie wartości środków lekarskich.** Wobec mającego się wkrótce ukazać nowego opracowania niemieckiej farmakopei, Heffer porusza kwestję wprowadzenia do farmakopei badania farmakologicznego tych preparatów, które chemicznie z odpowiednią dokładnością zbadać się nie dają, a jednocześnie będąc silnie działającymi środkami, muszą być dawane w ilościach ściśle oznaczonych. Jako farmakologiczną metodę dla oznaczenia wartości fol. digitalis, H. poleca zastrzykiwanie alkoholowego wyciągu liści Digitalis zabom ok. 30  $g$  wagi. Badania wykazały, że zarówno liście, jak i nalewki w ciągu sześcioletniego okresu nic na wartości nie straciły.

Próby robione z Convallaria majalis wykazały najsilniejsze działanie kwiatów, które wobec tego do przygotowywania nalewek najlepiej się nadają.

Badania farmakologiczne nad sporyszem wykazały, iż towar

znajdujący się w handlu, posiada zaledwie 15% tej siły działania, co ekstrakt według przepisu przygotowany.

Według autora artykułu przeprowadzeniem i opracowaniem powyżej wspomnianych badań powinny się zająć przede wszystkim Uniwersyteckie Instytuty farmakologiczne.

(A. Heffter, Ber. d. deut. pharm. Gesel. r. 1921, październik). *Dr. Garczyńska.*

**Doświadczenia z zakresu badania środków lekarskich.** Oznaczenie punktu topliwości winnoudz następującym modyfikacjom: zamiast pomieszczania termometru i rurczki z badaną substancją w rurce z powietrzem, można jedno i drugie wprost zanurzać w kwasie siarkowym (ewentualnie parafinie). Rezultaty są dokładniejsze, a unika się przez to niewygodnego aparatu, ogrzewanie zaś substancji odbywa się prawidłowiej. Przy oznaczaniu punktu topliwości tłuszczów zamiast uprzedniego nakładania do rurki stopionej substancji, wystarcza włożenie rurczki do badanej substancji i przez wciskanie pobranie odpowiednich ilości. Ważne to jest bardzo dla takich substancji, jak np. masło kakaowe, które według Königa musi po stopieniu 8 dni w zimnie leżeć, zanim do oznaczenia punktu topliwości przystąpić można.

Oznaczenie alkaloidów, wymagające przy obecnych metodach otrzymywania alkaloidów czystych, może być bardzo uproszczone przez użycie, jako wskaźnika, kwasu p-dwumetyloamino-azobenzolo-o-karbonowego, czyli t. zw. czerwieni metylowej, która daje przejście bardzo ostre od jasno żółtego koloru w alkalicznym i obojętnym roztworze do fioletowo czerwonego w kwaśnym roztworze. Wobec tego wskaźnika można wyługować alkaloidy chloroformem lub mieszaniną chloroformu z eterem, odpędzić rozpuszczalniki, rozpuścić surowe alkaloidy w małej ilości alkoholu i mianować decinormalnym roztworem kwasu solnego.

Metody tej jednak nie można stosować do Extractum Bellad. i Ext. Hyoscyami.

Oznaczenia liczby jodowej według Hübla nie można szybko wykonać, gdyż spirytusowy roztwór jodu z chlorkiem rtęciowym musi stać 48 godzin, następnie badany tłuszcz w tymże roztworze około 24 godzin, co razem czyni 3 doby. Metoda Hanusa, która daje równie dobre rezultaty, polega na zastosowaniu roztworu jodobromowego w stęż. kwasie octowym i pozwala oznaczyć liczbę jodową w przeciągu godziny.



Oznaczanie srebra w Argentum proteinicum mogłoby ulec modyfikacji w tym kierunku, ażeby substancję organiczną zniszczyć za pomocą dodawania do stężonego roztworu Argent. proteinicum kwasu siarkowego, a następnie potrochu 2 g proszkowego nadmanganianu potasowego. Przez dodanie siarczanu żelazowego niszczy się nadmiar nadmanganianu. Oznaczanie srebra w otrzymanym jasno żółtym roztworze uskutecznia się zapomocą mianowania rodankiem amonowym.

Metoda ta da się również zastosować i do oznaczania srebra w Argent. colloidalne z tą różnicą, że utlenienie organicznej substancji przeprowadza się przy ogrzewaniu w kolbie Kjeldahla. To ostatnie ma na celu rozłożenie znajdującego się w niewielkich ilościach w Argent. colloidalne chlorku srebra. Metoda ta daje b. dobre rezultaty, i pozwala uniknięcie błędu, jaki powstaje wskutek przeoczenia chlorku srebra przy stosowaniu metody dotychczas używanej.

Wykrycie soli potasowych, polegające na osadzaniu się kryształów winianu potasowego, może być zmodyfikowane w ten sposób, aby do obojętnego roztworu soli potasowych dodać najprzód octanu sodowego, a następnie sproszkowanego kwasu winowego. Przy silnym wstrząsaniu wypada odrazu winian potasu, a kwas winowy przechodzi do roztworu. Unika się stosując tą metodę znanego zjawiska przesylenia roztworu siarczanu potasu, jednocześnie zaś zachodzi tu prawdopodobnie zjawisko zaszczipienia kryształów, gdyż w kwasie winowym bardzo czystym prawie zawsze znajdują się minimalne wprawdzie ilości winianu potasu.

Przy badaniu Cocain. hydrochlor. na zawartość obcych alkaloidów trzeba wprowadzić następującą metodę: zamiast do roztworu czystego Cocain hydrochl. dodawać amoniaku, należy do roztworu amoniaku dodawać Cocain hydrochl. w proszku. Reakcja następuje momentalnie i czysta kokaina strąca się w postaci pięknych kryształów. Należy również przy oznaczaniu punktu topliwości Cocain hydrochl. zwrócić uwagę na sposób ogrzewania. Jeśli ogrzewamy wolno punkt topl. kokainy będzie od 175° do 180°, przy prędkim ogrzewaniu tenże preparat daje p. t. od 190° do 200°.

Nie można więc sądzić o czystości preparatu na zasadzie oznaczenia punktu topliwości; w tym wypadku należy stracić zasadę i po odłączeniu i wysuszeniu oznaczyć punkt topliwości kokainy czystej (od 97° do 98°).

Badania cukru mlecznego wykazały, iż są preparaty, które zupełnie wszystkim wymaganiom odpowiadają z wyjątkiem zwiększonej ilości popiołu, w jednym przypadku preparat zamiast 0,25% dawał 0,43% popiołu; w popiele tym poza śladami potasu, sodu, magnezu znaleziono trochę soli wapiennych. Przy gotowaniu 1,5 g takiego cukru mlecznego w 10 g mleka to ostatnie zupełnie się zważyło.

Wobec powyższego Braithwaite proponuje, ażeby cukier mleczny, posiadający wyższą, niż 0,25% zawartość popiołu, bezwzględnie odrzucać, gdyż w użyciu takie preparaty tylko szkodę dla organizmu przynieść mogą.

(Herzog, Ber. d. deut. pharmac. Gesel 1921, listopad). *Dr. Garczyńska*

**Racjonalne przyrządzanie odczynnika Nesslera dla farmakopei.** Przyrządzanie odczynnika Nesslera od r. 1856 ulegało rozmaitym przekształceniom. Szczególnie się rozpowszechniło i weszło do większości farmakopei zastosowanie chlorku zamiast jodku rtęci. Dodając jodek potasu do roztworu chlorku rtęci do chwili otrzymania przezroczystego płynu, można z łatwością dodać nadmiar jodku potasu, a wiadomo, iż już mały nadmiar tej soli obniża wrażliwość reakcji. Większość farmakopei każe dodawać chlorek rtęciowy do jodku potasowego do chwili, póki powstający osad przestanie się rozpuszczać.

Wśród licznych istniejących przepisów istnieje nawet taki, który zdaniem A. Schneidra, nie wykazuje obecności amoniaku i soli amonowych. Opracowując przepis odczynnika Nesslera dla nowego wydania szwedzkiej farmakopei, Friedrichs uzasadnia teoretycznie własności roztworu, w którym zachodzi reakcja. Jeżeli wyobrazimy sobie odczynnik Nesslera sporządzony tylko z cząsteczkowych ilości KI i  $\text{HgI}_2$ , to, pomijając obecność alkalii, może on zawierać tylko jony utworzone z tych soli, głównie K-jony i nowoutworzone jony złożone  $\text{HgI}'_3$  i  $\text{HgI}''_4$ . Te złożone jony są naturalnie jak zwykle mniej lub więcej, zdysocjowane. Naturalnie rtęć nie zostanie wydzielona obecnością nadmiaru alkalii i złożone jony będą względnie słabo zdysocjowane; w pewnych jednak okolicznościach, szczególnie przy stosowaniu mocnego odczynnika Nesslera, produkt koncentracji jonów rtęci, i jonów jodu może przekroczyć granice produktu rozpuszczalności jodku rtęci, przez co sól zostanie wydzielona w postaci kryształów. Widać z tego, że bardzo nieznaczny produkt rozpuszczalności siarczku rtęci może być łatwo przekroczony. Siarkowodór strąca też z łatwością rtęć z odczynnika Nesslera. Trzeba więc rozważyć, jaki wpływ na produkt reakcji mogą wywierać obecne w płynie jony rtęci  $\text{Hg}''$ .



Jeżeli odczynnik zawiera nadmiar KI lub w razie sporządzenia z chlorku rtęci KCl, to trzeba przyjąć pod uwagę, jak dalece to zważy na całości reakcji amonjakalnej. Jak wiadomo, przy stosowaniu odczynnika Nesslera tworzy się połączenie  $\text{NH}_2(\text{HgOHg})\text{I}$  czyli  $\text{NH}_2\text{HgI} + \text{HgO}$ , które w obecności niewielkich ilości wodorotlenków alkali wypada jako jasny, przy większych ilościach wodorotlenków, ciemniejszy żółtobronzowy osad; w rozcieńczonych roztworach nadaje on płynom barwę żółtą lub żółto czerwoną. Według wszelkiego prawdopodobieństwa rozcieńczony roztwór zawiera produkt reakcji, jako dispersoid koloidalny, który w sprzyjających okolicznościach może posiadać wysoki stopień rozproszenia.

Intensywność barwy roztworu zależy od rozwoju powierzchniowego fazy rozproszonej i zostaje zmniejszona przez czynniki, które przyspieszają tworzenie się skupień cząsteczkowych i sprzyjają koagulacji. Wydzielone połączenie  $\text{NH}_2(\text{HgOHg})\text{I}$  jest w wodzie trochę rozpuszczalne i dlatego nie daje się zupełnie stracić. Ponieważ jego roztwór, jak wogóle związki nieorganiczne w stanie koloidalnym, posiadają bardzo nieznaczne tarcie wewnętrzne, zaliczamy więc go do koloidów zawieszonych. Tego rodzaju roztwory zostają przez elektrolity łatwo skupione lub koagulowane, a wiadomo, że szybkość skupiania zależy nie tylko od koncentracji zawiesin i soli neutralnej, lecz też od elektrolitycznego ciśnienia roztworu elektrolitów.

Z pomiędzy dwuwartościowych katjonów posiada  $\text{Hg}''$  największe ciśnienie roztworu, oraz największą zdolność skupiania, podczas gdy elektrolityczne ciśnienie roztworu jonów chlorowców wzrasta w kierunku  $\text{I}' < \text{Br}' < \text{Cl}'$ . Przy opracowaniu więc przepisu przyrządzania odczynnika Nesslera ma duże znaczenie zmniejszenie ilości wolnych jonów Hg, Cl, lub I.

Trzeba nadmienić, iż dla osiągnięcia skupień lub kłaczkowatego osadu potrzebne jest w solach neutralnych, jako też w fazie rozproszonej pewne minimum, granica zawieszalności, poniżej więc tej granicy koncentracji może dać dobre rezultaty nawet odczynnik zawierający elektrolity strącające.

Przepis odczynnika Nesslera dla farmakopei musi jednak odpowiadać następującym warunkom:

- 1) Przepis nie powinien dopuszczać żadnych wahań co do składników odczynnika.

- 2) Wywołana odczynnikiem intensywność zabarwienia musi

odpowiadać zawartości amoniaku i nadawać się do ilościowych kolorymetrycznych oznaczeń.

3) Odczynnik musi wykrywać najmniejsze ilości amoniaku ew. jego soli.

4) Stosowanie odczynnika w większych lub mniejszych ilościach nie powinno wpływać na zmniejszenie czułości reakcji.

Dla sprawdzenia wartości istniejących przepisów robi autor próby porównawcze w kolorymetrze Krüssa z odczynnikiem Nesslera, sporządzonym według 10 różnych przepisów.

Zestawienie rezultatów wykazuje, iż najbardziej się nadaje do ilościowych kolorymetrycznych oznaczeń odczynnik, który odpowiada uzasadnieniom teoretycznym autora, wobec tego poleca autor dla farmakopei następujący przepis: 2 g jodku potasu i 3, 5 g drobno sproszkowanego jodku rtęci zmieszać z 3  $cm^3$  wody, dodać 60  $cm^3$  ługu potasowego (= 5 norm.) i rozcieńczyć wodą do 100  $cm^3$ . Po kilku dniach zlać płyn z ponad utworzonego osadu i przefiltrować przez azbest.

(O. Friedrichs, Archiv der Pharmacie, 259, zeszyty 2 i 3.)

Dr. M. Grabowska.

Przyczynek do zbadania czynnych składników tasznika. (Herba Capsellae Bursae Pastoris). Dotychczasowe prace nad badaniem fizjologicznie czynnych składników tasznika nie zdołały wyświecić ich istoty chemicznej. Bombelon objaśnia tamujące krew działanie tasznika obecnością olejku gorczycowego. W otrzymanym zapomocą octanu ołowiu i amoniaku osadzie widzi nagromadzenie czynnych składników. Przypuszczenia te nie zostają potwierdzone przez innych badaczy. Tunmann stwierdza w taszniku obecność zasad cholinowych i objaśnia silne działanie ekstraktów tasznika działaniem wielu składników. Groeber i Windrath uważają działanie tasznika za równoznaczne z działaniem sporyszu. H. Boruttau i H. Cappenberg stwierdzają na licznych doświadczeniach klinicznych słusność tego poglądu i poszukują w taszniku tych składników, które zostały przez angielskich badaczy wykryte w sporyszu. Zdaniem H. B. i H. C. decydujące znaczenie w zastosowaniu terapeutycznym sporyszu przypisać należy ciałom dwu grup: 1 aminom proteinogenowym i 2) zasadom cholinowym.

Zastrzyknięcie królikowi  $1/2$  — 1  $cm^3$  płynnego wyciągu (1 : 1) tasznika powoduje gwałtowny spadek ciśnienia krwi, silny skurcz mięśni i śmierć w ciągu kilku sekund. Przez uprzednie zastrzyknięcie



atropiny można tym skutkom prawie całkowicie zapobiedz. Przeprowadzając doświadczenia na zwierzętach, jako też na gładkich mięśniach oddzielnych organów (kiszki cienkie, serce, uterus), stwierdzają badacze, iż skutki to typowe dla acetylocholin i przystępują do wydzielenia jej. Acetylocholina zostaje z wyciągu tasznika w postaci związków chloroplatynocholinowych zidentyfikowana i określona jej przeciętna procentowa zawartość w roślinie. Doświadczenia na zwierzętach zostają powtórzone z izolowaną z tasznika jako też z syntetyczną, acetylocholiną.

Uważając acetylocholinę za najważniejszy składnik, powodujący spadek ciśnienia krwi i skurcz mięśni, opracowują H. B. i H. C. następującą metodę dla oznaczania jej zawartości w roślinie:  $5\text{ cm}^3$  wyciągu (1 : 1) wymieszać z  $12\text{ cm}^3$  spirytusu i strącić  $20\text{--}25\text{ cm}^3$  1% alkoholowego roztworu chlorku platyny. Po dwudniowym odstaniu się przefiltrować, wyługować gorącą wodą i odparować w zamkniętej parowniczce. Zanieczyszczenie pozostaje na filtrze. Dobry materiał roślinny powinien dać 4% związków platynocholinowych.

Pracując nad wydzieleniem acetylocholin z wyciągów tasznika, kierowali się badacze pracą Ewinsa, który wydzielił acetylocholinę ze sporyszu, znaleźli jednak przy strącaniu sublimatem porwane przez osad fizjologicznie czynne substancje, które dały się z osadu wydzielić. (Ewins, wydzielając acetylocholinę z wyciągu sporyszu, uważa osad sublimatowy za wolny od czynnych substancji). Działanie ich okazało się wręcz przeciwne działaniu acetylocholin, bo wpłynęło na podniesienie ciśnienia krwi przy zwężeniu naczyń krwionośnych. W ten sposób działają substancje, należące do pierwszej grupy czynnych składników sporyszu, ujętej pod nazwą aminów proteinogenowych.

Są to związki cykliczne z grupą alkyloaminową w bocznym łańcuchu; do nich należy czynny składnik nadnercza — adrenalina. Angielscy badacze wykryli w sporyszu p-oksyfenyloetylaminę, zwaną tyraminą. Działa ona znacznie słabiej, niż adrenalina; wprowadzona do obiegu krwi wzmaga ciśnienie przez zwężenie naczyń i podnosi napięcie gładkich mięśni.

H. B. i H. C. izolowali tyraminę z wyciągu tasznika, lecz wobec trudności technicznych, w małych ilościach, które nie pozwoliły na dokładne jej zbadanie. Stwierdzono jednak zwężające działanie na naczynia krwionośne, i badacze proponują określanie jej zawartości w roślinie metodą Laewen Trendelenburga przez rejestrowanie

kropli krwi, wypływających z naczyń krwionośnych zwierzęcia, któremu została zastrzyknięta.

(H. Boruttau H. Cappenberg, Archiv. der Pharmacie, Band 259 Heft. 1.)

*Dr. M. Grabowska.*

Oznaczenie hydrastyny za pomocą kwasu krzemowolframowego. Nattiez zastosowuje nierozpuszczalność krzemowolframowej hydrastyny dla oznaczenia ilości jej w płynnym ekstrakcie. Według Bertrand'a 1 g tego połączenia odpowiada 0,342 g hydrastyny.

125 g sproszkowanego Rhiz. Hydrastis, wysuszonego w 50°, wsypuje się do kolbki, zaopatrzonej chłodnicą, dodaje 150 cm<sup>3</sup> spirytusu 70%-ego i ogrzewa w ciągu 3 godzin na kąpeli wodnej. Po wystudzeniu dodaje się spirytusu 70%-ego do początkowej wagi, sączy, i 120 g przesączu odparowuje do konsystencji syropu. Pozostałość rozpuszcza się w takiej ilości 25%-ego kwasu siarkowego, aby otrzymać wagę 15 g. Po upływie 1 godziny wykryształizowuje się siarczan berberynowy; wtedy dodaje się 1 g talku i do odważonej kolbki o pojemności ok. 125 cm<sup>3</sup> sączy 10 g płynu. Płyn ten alkalinizuje się 5—6 cm<sup>3</sup> amoniaku i wytrząsa 40 g eteru, z których waży się 35 g i znów wytrząsa z początku wodą, a następnie 1%-ym kwasem solnym, aż przestanie wydzielać się osad z odczynnikiem Mayer'a. Kwaśne wodne roztwory filtruje się i ogrzewa na kąpeli wodnej do zniknięcia zapachu eteru, poczem przy ogrzewaniu osadza się hydrastynę kwasem krzemowolframowym i po 24 godzinach sączy, przemyla i suszy.

(Pharm. Weekbl. 58, 994.) *St. Kosmalski.*

Oznaczanie małych ilości fosforanów w glicerofosforanach według Lizius'a najlepiej daje się wykonać kolorymetrycznie za pomocą molibdenjanu amonowego. Glicerofosforany stałe i kwas glicerofosforowy zwykle zawierają nieznaczne, natomiast glicerofosforany płynne (konsystencji syropu) — pokaźne ilości fosforanów. Dopuszczalna ilość, obliczona na kwas fosforowy, nie powinna przekraczać 0,1%.

(Pharm. Journ. 106, 478, rok 1921) *St. Kosmalski.*